









Будем говорить, что ориентированное (неориентированное) ребро *инцидентно* составляющим его вершинам, а дуга  $(u, v)$  *исходит* или, иначе, *выходит* из вершины  $u$  и *заходит* или, иначе, *входит* в вершину  $v$ . Число ребер, инцидентных вершине  $v$  (входящих в  $v$ , выходящих из  $v$ ) в графе  $G$ , называется *степенью* (соответственно *полустепенью захода*, *полустепенью исхода*) вершины  $v$  в графе  $G$  и обозначается через  $d_G(v)$  (соответственно  $d_G^+(v)$ ,  $d_G^-(v)$ ). Заметим, что

$$\sum_{v \in V(G)} d_G(v) = 2|E(G)|, \quad (1.1)$$

и что  $d_G(v) = d_G^+(v) + d_G^-(v)$  ( $d_G(v) = d_G^+(v) = d_G^-(v)$ ) в случае ориентированного (соответственно неориентированного) графа  $G$ .



Граф  $G' = (V', E')$  называется *подграфом* графа  $G = (V, E)$ , если  $V' \subseteq V$  и  $E' \subseteq E$ . При этом  $G'$  считается *подграфом графа  $G$ , натянутым на множество вершин  $V'$* , если  $E'$  включает в себя все входящие в  $E$  пары вершин из  $V'$ . Подграф, содержащий все вершины исходного графа, называется его *остовным подграфом*. Легко видеть, что подграф всегда можно получить из исходного графа в результате (многократного) применения операций *удаления ребра* или *удаления вершины*. При этом удаление вершины, как обычно, подразумевает удаление всех инцидентных ей ребер.

При определении понятий, связанных с «движениями» по графу, ограничимся случаем ориентированных графов, считая, как обычно, что неориентированное ребро эквивалентно двум противоположным дугам, связанным с той же парой вершин. Последовательность  $C$ , состоящая из ребер  $e_1, e_2, \dots, e_n$ , где  $e_i = (v_i, v_{i+1}) \in E(G)$  при всех  $i, i \in [1, n]$ , называется  $(v_1 - v_{n+1})$ -*путем* графа  $G$ . При этом вершина  $v_1$  ( $v_{n+1}$ ) считается *начальной* (соответственно *конечной*) вершиной этого пути, вершины  $v_2, \dots, v_n$  — его *внутренними* вершинами, а число  $n$  — его *длиной*. Если все ребра пути различны (как элементы соответствующего сочетания), то он называется *цепью*, а если, кроме того, различны все его вершины, то — *простой цепью*. Если начальная и конечная вершины пути (цепи)  $C$  совпадают, то  $C$  считается *замкнутым путем* (соответственно *циклом*). Цикл, в котором все вершины, кроме начальной и конечной, различны, называется *простым циклом*.



Будем говорить, что *вершина  $u$  достижима из вершины  $v$  в графе  $G$* , где  $u, v \in V(G)$ , если  $u = v$  или в  $G$  существует  $(v - u)$ -цепь. Заметим, что отношение достижимости вершин графа  $G$  является рефлексивным и транзитивным, а если  $G$  — неориентированный граф, то и симметричным.

Следовательно, множество вершин графа  $G$  распадается на классы эквивалентности по отношению их достижимости в графе  $\widehat{G}$ , который получается из графа  $G$  заменой каждой дуги на соответствующее неориентированное ребро ( $G = \widehat{G}$ , если  $G$  — неориентированный граф). При этом подграф графа  $G$ , натянутый на каждый такой класс вершин, называется *связной компонентой* графа  $G$ , а множество всех его связных компонент обозначается через  $c(G)$ . Граф  $G$  называется *связным*, если  $|c(G)| = 1$ .

Напомним, что

$$|E(G)| - |V(G)| + |c(G)| \geq 0 \quad (1.2)$$

и что левая часть (1.2) называется *цикломатическим числом* графа  $G$ . Напомним также, что это число равно максимальному числу линейно независимых относительно операции симметрической разности<sup>1</sup> остовных подграфов графа  $G$ , состоящих из одного простого цикла и изолированных вершин.

---

<sup>1</sup>Под симметрической разностью графов  $G_1$  и  $G_2$  понимается граф  $G$ , для которого

$$\begin{aligned} V(G) &= V(G_1) \cup V(G_2), \\ E(G) &= (E(G_1) \cup E(G_2)) \setminus (E(G_1) \cap E(G_2)). \end{aligned}$$

Множество  $S$ , которое состоит из ребер графа  $G = (V, E)$  и обладает тем свойством, что вершина  $u$ ,  $u \in V$ , достижима из вершины  $v$ ,  $v \in V$ , в графе  $G$ , но не достижима из нее в графе  $(V, E \setminus S)$ , называется  $(u|v)$ -сечением графа  $G$ . Легко видеть, что любая  $(u - v)$ -цепь графа  $G$  имеет хотя бы одно общее ребро с любым  $(u|v)$ -сечением этого графа. Сечение, которое не имеет собственных подмножеств, являющихся сечением, называется *тупиковым*.







Граф, вершинам и (или) ребрам которого сопоставлены определенные символы (пометки), считается *помеченным графом*. Примером такого графа является, в частности, корневое дерево. Другим примером помеченного графа является ациклический граф с *монотонной нумерацией вершин*, когда для любой дуги номер вершины, из которой она исходит, больше номера вершины, в которую эта дуга входит. Ориентированный граф  $G$  называется *упорядоченным*, если для любой его вершины  $v$ ,  $v \in V(G)$ , все ребра, входящие в  $v$ , упорядочены и пронумерованы числами  $1, 2, \dots, d_G^+(v)$ .

Будем считать, что ребра и вершины остовного поддерева, а также ребра связанного с ним остовного наддерева помеченного графа имеют те же самые пометки, которые они имели в исходном графе. Это означает, в частности, что остовное наддерево ориентированного ациклического упорядоченного графа является упорядоченным.

Графы  $G' = (V', E')$  и  $G'' = (V'', E'')$  называются *изоморфными*, если существуют такие взаимно однозначные отображения  $\varphi : V' \rightarrow V''$  и  $\psi : E' \rightarrow E''$ , при которых вершины и неориентированные ребра (дуги)  $G'$  переходят в вершины и неориентированные ребра (соответственно дуги)  $G''$  с сохранением отношения инцидентности (соответственно исхода, захода) вершин и ребер, а также всех пометок. Для (конечного) множества графов  $\mathcal{G}$  через  $|\mathcal{G}|$  будем обозначать число попарно неизоморфных графов в  $\mathcal{G}$ .





Введем теперь общие определения и обозначения, связанные с сетями и «абстрактными» схемами, с реализацией ими функций, а также с некоторыми структурными представлениями схем.

Набор вида  $\mathcal{G} = (G; V'; V'')$ , где  $G$  — граф, а  $V'$  и  $V''$  — выборки из множества  $V(G)$  длины  $p$  и  $q$  соответственно, причем выборка  $V'$  является выборкой без повторений, называется  $(p, q)$ -сетью. При этом выборка  $V'$  (выборка  $V''$ ) считается *входной* (соответственно *выходной*) *выборкой*, а ее  $i$ -я вершина называется  $i$ -м *входным* (соответственно *выходным*) *полюсом* или, иначе,  $i$ -м *входом* (соответственно *выходом*) сети  $\mathcal{G}$ . Вершины, не участвующие во входной и выходной выборках сети, считаются ее *внутренними* вершинами.

Для того чтобы выделить входную и выходную выборки сети  $\mathcal{G} = (G; V', V'')$ , будем записывать ее в виде  $\mathcal{G} = \mathcal{G}(V'; V'')$  или  $\mathcal{G} = G(V'; V'')$ . Сеть, в которой входная и выходная выборки совпадают (не совпадают), называется *сетью с неразделенными (соответственно с разделенными) полюсами*. При этом в случае неразделенных полюсов сеть  $\mathcal{G} = (G; V; V) = \mathcal{G}(V; V)$  будем записывать в виде  $\mathcal{G} = (G; V) = \mathcal{G}(V)$ . Как правило, входы и выходы (полюса) сети имеют специальные пометки, которые отличают эти вершины от других вершин сети и указываются вместо них в соответствующих выборках. Таким образом, сети можно считать специальным частным случаем помеченных графов.

Примером сети является корневое дерево, входами которого считаются его листья, а выходом — корень. При этом порядок листьев во входной выборке ориентированного упорядоченного корневого дерева  $\mathcal{D}$  задается «естественной» нумерацией  $\tau$ , отображающей множество вершин дерева  $\mathcal{D}$  в  $\mathbb{N}$  так, что  $\tau(v') < \tau(v'')$  тогда и только тогда, когда либо  $v''$  достижима из  $v'$ , либо  $k' < k''$ , где  $k'$  и  $k''$  — номера дуг, по которым цепи, соединяющие вершины  $v'$  и  $v''$  соответственно с корнем  $\mathcal{D}$ , входят в свою первую общую вершину.

Для произвольных выборок  $V' = (v'_1, \dots, v'_p)$  и  $V'' = (v''_1, \dots, v''_q)$  из множества  $V(G)$  графа  $G$  определим *матрицу достижимости* выборки  $V'$  из выборки  $V''$  как матрицу  $M$ ,  $M \in B^{p,q}$ , для которой


$$M \langle i, j \rangle = \begin{cases} 1, & \text{если } v''_j \text{ достижима из } v'_i, \\ 0, & \text{в остальных случаях.} \end{cases}$$

Заметим, что в случае  $V' = V''$  матрица  $M$  является рефлексивной и транзитивной<sup>1</sup>, а если, кроме того,  $G$  — неориентированный граф, то и симметричной матрицей.

---

<sup>1</sup>Матрица  $M$ ,  $M \in B^{m,m}$ , считается рефлексивной (транзитивной) тогда и только тогда, когда она задает рефлексивное (соответственно транзитивное) отношение на множестве  $[1, m]$ , то есть

$$M \langle i, i \rangle = 1 \quad (\text{соответственно } M \langle i, t \rangle \cdot M \langle t, j \rangle \leq M \langle i, j \rangle)$$

для любого  $i$  (соответственно любых  $i, j$  и  $t$ ) из отрезка  $[1, m]$ . 

Заметим также, что транзитивность рефлексивной матрицы  $M$ ,  $M \in B^{m,m}$ , имеет место тогда и только тогда,<sup>1</sup> когда

$$M^2 = M. \quad (1.5)$$

---

<sup>1</sup>Считаем, что при умножении матриц из 0 и 1 вместо операции сложения используется операция дизъюнкции.



Действительно, полагая  $\widehat{M} = M^2$ , получим

$$\widehat{M} \langle i, j \rangle = \bigvee_{t=1}^m M \langle i, t \rangle \cdot M \langle t, j \rangle \quad (1.6)$$

и, следовательно, в случае  $\widehat{M} = M$  неравенства транзитивности

$$\widehat{M} \langle i, j \rangle = M \langle i, j \rangle \geq M \langle i, t \rangle \cdot M \langle t, j \rangle$$

будут выполнены при любых  $i, j, t$  из отрезка  $[1, m]$ . С другой стороны, из транзитивности рефлексивной матрицы  $M$ , в силу (1.6), следует, что

$$\widehat{M} \langle i, j \rangle = M \langle i, j \rangle \vee \left( \bigvee_{\substack{1 \leq t \leq m \\ t \neq i, j}} M \langle i, t \rangle \cdot M \langle t, j \rangle \right) = M \langle i, j \rangle.$$

Матрица достижимости выходной выборки сети из ее входной выборки называется *матрицей достижимости* этой сети.

Под «абстрактной» схемой понимается сеть, часть пометок которой составляют входные переменные и в каждой вершине которой реализуется функция (столбец из функций) от этих переменных. При этом считается, что сама схема реализует систему (матрицу), состоящую из функций (соответственно столбцов функций), реализованных на ее выходах. В качестве выходных пометок схемы используются, как правило, специальные выходные переменные, а схема  $\Sigma$  с входными переменными (входами)  $x_1, \dots, x_n$  и выходными переменными  $z_1, \dots, z_m$  записывается в виде  $\Sigma = \Sigma(x_1, \dots, x_n; z_1, \dots, z_m)$ .

Номер  $\nu(\alpha)$  набора  $\alpha = (\alpha_1, \dots, \alpha_n)$  из  $B^n$  считается номером ЭК (ЭД) ранга  $n$  от БП  $X(n)$  вида  $x_1^{\alpha_1} \dots x_n^{\alpha_n}$  (соответственно  $x_1^{\bar{\alpha}_1} \vee \dots \vee x_n^{\bar{\alpha}_n}$ ), множество всех таких ФАЛ обозначается  $Q_n$  (соответственно  $J_n$ ), а система из всех указанных ФАЛ, упорядоченных по их номерам, называется конъюнктивным (соответственно дизъюнктивным) дешифратором порядка  $n$  от БП  $x_1, \dots, x_n$  и обозначается через  $\overrightarrow{Q}_n$  (соответственно  $\overrightarrow{J}_n$ ).

Функция вида

$$\mu_n(x_1, \dots, x_n, y_0, \dots, y_{2^n-1}) = \bigvee_{\alpha=(\alpha_1, \dots, \alpha_n)} x_1^{\alpha_1} \cdots x_n^{\alpha_n} y_{\nu(\alpha)}$$

называется *мультиплексорной функцией*, или, иначе, *мультиплексором порядка  $n$* , а переменные  $x = (x_1, \dots, x_n)$  ( $y = (y_0, \dots, y_{2^n-1})$ ) считаются *адресными* (соответственно *информационными*) БП мультиплексора  $\mu_n$ .

Мультиплексорную ФАЛ порядка  $(n - q)$ ,  $0 \leq q < n$ , от адресных БП  $x'' = (x_{q+1}, \dots, x_n)$  и информационных БП  $y = (y_0, \dots, y_{2^{n-q}-1})$  часто используют для разложения произвольной ФАЛ  $f(x_1, \dots, x_n)$  по БП  $x''$  (см. разложение Шеннона (2.5) из §2 главы 1).

Схему, которая реализует систему ФАЛ  $Q_n (J_n, \mu_n)$  будем называть *дешифратором* (соответственно *дизъюнктивным дешифратором*, *мультиплексором*) *порядка  $n$* . Схемы, реализующие равные системы функций, называются *эквивалентными*. Предполагается, что изоморфные схемы всегда эквивалентны, и поэтому для любого конечного множества схем  $\mathcal{U}$  выполняется неравенство

$$\|\mathcal{U}\| \leq |\mathcal{U}|, \quad (1.7)$$

где  $\|\mathcal{U}\|$  — число попарно неэквивалентных схем в  $\mathcal{U}$ .











Напомним, что «графически» совпадающие формулы считаются *изоморфными*, а формулы  $\mathcal{F}'$  и  $\mathcal{F}''$ , реализующие равные функции  $f'$  и  $f''$ , называются *равными* или, иначе, *эквивалентными*. При этом равенство вида  $t : \mathcal{F}' = \mathcal{F}''$  считается *тождеством*. Через  $t_\varphi^K$  и  $t_\varphi^A$  будем обозначать тождество коммутативности и тождество ассоциативности для ФАЛ  $\varphi(x_1, x_2)$ , где  $\varphi \in \{x_1 \cdot x_2, x_1 \vee x_2, x_1 \oplus x_2, x_1 \sim x_2\}$  (см. §2 главы 1).

Множество всех формул над базисом  $B$  будем обозначать через  $\mathcal{U}_B^\Phi$  и положим  $\mathcal{U}_{B_0}^\Phi = \mathcal{U}^\Phi$ . Индукцией по глубине любой формуле глубины  $q$  над  $B$  можно сопоставить упорядоченное ориентированное корневое дерево глубины  $q$ , каждому листу которого приписана БП из  $\mathcal{X}$ , а каждой внутренней вершине — функциональный символ (ФС) из  $B$ . Формуле  $x_j$  глубины 0 сопоставим «тривиальное» дерево с единственной вершиной, являющейся корнем и листом одновременно, которой приписана БП  $x_j$  (см. рис. 2.1a). Формуле  $\mathcal{F}$  вида (2.1) сопоставим дерево  $\mathcal{D}$  глубины  $q$ , определяемой равенством (2.2), и с корнем  $v$ , показанное на рис. 2.1b, где  $\mathcal{D}_j$ ,  $j = 1, \dots, k_i$  — дерево глубины  $q_j$  с корнем  $v_j$ , которое соответствует формуле  $\mathcal{F}_j$ .

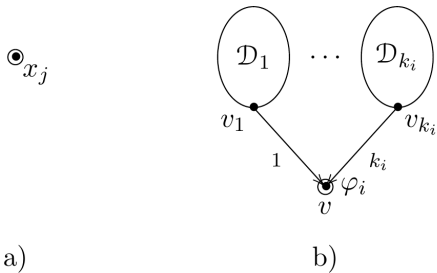


Рис. 2.1: представление формулы деревом



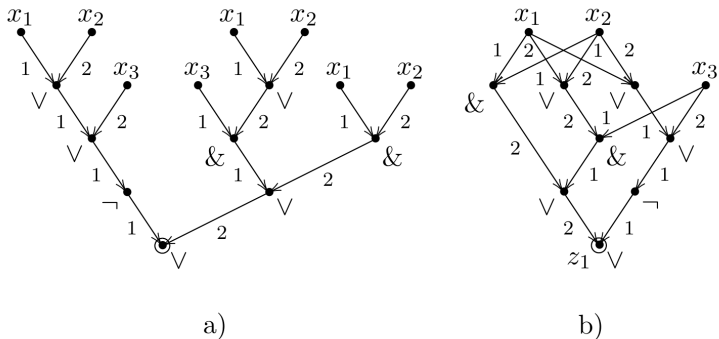


Рис. 2.2: представление формулы (2.3) деревом и квазидеревом

$$\overline{((x_1 \vee x_2) \vee x_3)} \vee (x_3 (x_1 \vee x_2) \vee x_1 x_2)$$









## Следствие

$$D(\mathcal{F}) \geq \lceil \log(L(\mathcal{F}) + 1) \rceil. \quad (2.5)$$

Для того чтобы выделить набор  $x = (x_{i_1}, \dots, x_{i_n})$ , который состоит из всех различных БП алфавита  $\mathcal{X}$ , встречающихся в формуле  $\mathcal{F}$  и перечисленных в порядке возрастания их номеров, будем записывать ее в виде  $\mathcal{F} = \mathcal{F}(x)$ . При этом формулу, которая получается из  $\mathcal{F}$  в результате замены каждого вхождения БП  $x_{i_j}$ ,  $j = 1, \dots, n$ , формулой  $\mathcal{F}_j$  будем считать *результатом подстановки формулы  $\mathcal{F}_j$  вместо БП  $x_{i_j}$ ,  $j = 1, \dots, n$ , в формулу  $\mathcal{F}$*  и будем обозначать ее через  $\mathcal{F}(\mathcal{F}_1, \dots, \mathcal{F}_n)$ . Заметим, что формула  $\mathcal{F}(\mathcal{F}_1, \dots, \mathcal{F}_n)$  реализует ФАЛ  $f(f_1, \dots, f_n)$ , где ФАЛ  $f$  (ФАЛ  $f_j$ ) — ФАЛ, реализуемая формулой  $\mathcal{F}$  (соответственно  $\mathcal{F}_j$ ,  $j = 1, \dots, n$ ).



Из определений следует, что для формул имеет место так называемый принцип эквивалентной замены. Это означает, что если позиционную подформулу вида  $\widehat{\mathcal{F}}'$  (вида  $\widehat{\mathcal{F}}''$ ) формулы  $\mathcal{F}$  заменить, учитывая тождество  $\widehat{t}$ , эквивалентной ей формулой  $\widehat{\mathcal{F}}''$  (соответственно  $\widehat{\mathcal{F}}'$ ), то полученная в результате такой замены формула  $\check{\mathcal{F}}$  будет эквивалентна формуле  $\mathcal{F}$ . Указанный переход от формулы  $\mathcal{F}$  к формуле  $\check{\mathcal{F}}$  называется (однократным) *эквивалентным преобразованием (ЭП) формулы  $\mathcal{F}$*  на основе тождества  $t$ , а последовательность однократных ЭП формулы  $\mathcal{F}$ , выполняемых на основе тождеств из системы  $\tau$ , считается её (многократным) ЭП на основе этой системы.



Формулы из  $\mathcal{U}^\Phi$  можно оптимизировать также по числу отрицаний с помощью эквивалентных преобразований на основе тождеств

$$t_{\&}^M : \overline{(x_1 \cdot x_2)} = \bar{x}_1 \vee \bar{x}_2, \quad t_{\vee}^M : \overline{(x_1 \vee x_2)} = \bar{x}_1 \cdot \bar{x}_2,$$

$$t_{\neg}^M : \overline{(\bar{x}_1)} = x_1$$

— тождеств де Моргана для конъюнкции, дизъюнкции и отрицания соответственно, а также преобразований подобия. Тождество  $t_{\neg}^M$  используется при этом для устранения нескольких последовательных вхождений ФС  $\neg$  в оптимизируемой формуле, а тождества  $t_{\&}^M$ ,  $t_{\vee}^M$  — для выполнения перехода

$$\mathcal{F}' = \bar{\mathcal{F}}_1 \circ \dots \circ \bar{\mathcal{F}}_t = \overline{(\mathcal{F}_1 \diamond \dots \diamond \mathcal{F}_t)},$$

где  $(\circ, \diamond) \in \{(\&, \vee), (\vee, \&)\}$  и  $t \geq 2$ , во всех ее максимальных по включению подформулах вида  $\mathcal{F}'$ , формируемых с помощью преобразований подобия.































Далее будем рассматривать только формулы над базисом  $B_0$ , называя их просто формулами. Заметим, что имеют место следующие тождества ассоциативности

$$t_o^A : x_1 \circ (x_2 \circ x_3) = (x_1 \circ x_2) \circ x_3,$$

тождества коммутативности

$$t_o^K : x_1 \circ x_2 = x_2 \circ x_1$$

и тождества отождествления БП

$$t_o^{OP} : x \circ x = x,$$

где  $\circ \in \{\&, \vee\}$ , тождества дистрибутивности « $\circ$ » относительно « $\diamond$ »

$$t_{o,\diamond}^D : x_1 \circ (x_2 \diamond x_3) = (x_1 \circ x_2) \diamond (x_1 \circ x_3)$$

и тождества («правила») де Моргана

$$t_{\neg}^M : \overline{\overline{x_1}} = x_1, \quad t_o^M : \overline{(x_1 \circ x_2)} = (\overline{x_1}) \diamond (\overline{x_2}),$$

где  $(\circ, \diamond) \in \{(\&, \vee), (\vee, \&)\}$ ,

тождества подстановки констант<sup>1</sup>

$$t_{0,\&}^{\text{ПК}} : x_1 (x_2 \cdot \bar{x}_2) = x_2 \cdot \bar{x}_2, \quad t_{1,\&}^{\text{ПК}} : x_1 (x_2 \vee \bar{x}_2) = x_1,$$

$$t_{0,\vee}^{\text{ПК}} : x_1 \vee x_2 \cdot \bar{x}_2 = x_1, \quad t_{1,\vee}^{\text{ПК}} : x_1 \vee (x_2 \vee \bar{x}_2) = x_2 \vee \bar{x}_2,$$

а также тождество поглощения

$$t^{\text{П}} : x_1 \vee x_1 x_2 = x_1,$$

тождество обобщенного склеивания

$$t^{\text{OC}} : x_1 x_2 \vee \bar{x}_1 x_3 = x_1 x_2 \vee \bar{x}_1 x_3 \vee x_2 x_3$$

и другие.

---

<sup>1</sup>В отличие от тождеств (2.1)–(2.2) главы 1 данные тождества подстановки констант ориентированы на базис  $B_0$ , где роль константы 0 (константы 1) играет формула вида  $x_i \cdot \bar{x}_i$  (соответственно  $x_i \vee \bar{x}_i$ )

Докажем, что

$$\{t_{\&}^M, t_{\neg}^M\} \models \{t_{\vee}^M\} \quad \text{и} \quad \{t_{\&}^K, \tau^M\} \models \{t_{\vee}^K\},$$

где  $\tau^M = \{t_{\&}^M, t_{\neg}^M, t_{\vee}^M\}$ . Действительно,

$$\overline{x_1 \vee x_2} \underset{t_{\vee}^M}{\models} \overline{(\bar{x}_1) \vee (\bar{x}_2)} \underset{t_{\&}^M}{\mapsto} \overline{(\bar{x}_1) \cdot (\bar{x}_2)} \underset{t_{\neg}^M}{\mapsto} \bar{x}_1 \cdot \bar{x}_2$$

и

$$x_1 \vee x_2 \underset{t_{\neg}^M}{\mapsto} \overline{\overline{x_1 \vee x_2}} \underset{t_{\vee}^M}{\mapsto} \overline{\bar{x}_1 \cdot \bar{x}_2} \underset{t_{\&}^K}{\mapsto} \overline{\bar{x}_2 \cdot \bar{x}_1} \underset{t_{\&}^M, t_{\neg}^M}{\models} x_2 \vee x_1.$$







Положим

$$\begin{aligned} \tau^{\text{осн}} &= \{t_{\&}^M, t_{\neg}^M, t_{\&}^A, t_{\&}^K, t_{\&}^{\text{ОП}}, t_{\&,\vee}^D, t_{1,\&}^{\text{ПК}}, t_{0,\&}^{\text{ПК}}\}, \\ \tau^A &= \{t_{\&}^A, t_{\vee}^A\}, \\ \tau^K &= \{t_{\&}^K, t_{\vee}^K\}, \\ \tau^{\text{ОП}} &= \{t_{\&}^{\text{ОП}}, t_{\vee}^{\text{ОП}}\}, \\ \tau^D &= \{t_{\&,\vee}^D, t_{\vee,\&}^D\}, \\ \tau^{\text{ПК}} &= \{t_{0,\&}^{\text{ПК}}, t_{1,\&}^{\text{ПК}}, t_{0,\vee}^{\text{ПК}}, t_{1,\vee}^{\text{ПК}}\}, \\ \tilde{\tau}^{\text{осн}} &= \{\tau^M, \tau^A, \tau^K, \tau^{\text{ОП}}, \tau^D, \tau^{\text{ПК}}, t^{\Pi}\}. \end{aligned}$$

Систему  $\tau^{\text{осн}}$  будем называть *системой основных тождеств*, а систему  $\tilde{\tau}^{\text{осн}}$  — *расширенной системой основных тождеств*.

























**§4. Задание формул графами, схемы из функциональных элементов. Оценка числа формул и схем в базисе  $\{\&, \vee, \neg\}$**





Пусть  $\mathcal{Z}$  — счетный упорядоченный алфавит (выходных) БП, который не имеет общих БП с алфавитом  $\mathcal{X}$ .

Сопоставим каждому функциональному символу (ФС)

$\varphi_i$ ,  $i = 1, \dots, b$ , функциональный элемент (ФЭ)  $\mathcal{E}_i$ , имеющий  $k_i$  входов, причем входу с номером  $j$  соответствует  $j$ -я БП

$x_j$  ФАЛ  $\varphi_i$ , где  $j = 1, \dots, k_i$ , и один выход, на котором эта ФАЛ реализуется (см. рис. 4.1a). Упрощенный вариант

изображения ФЭ  $\mathcal{E}_i$  в виде вершины графа с пометкой  $\varphi_i$ , в которую входят  $k_i$  упорядоченных, то есть пронумерованных

числами  $1, \dots, k_i$  дуг, показан на рис. 4.1b. При этом предполагается, что дуга с номером  $j$ ,  $1 \leq j \leq k_i$ ,

соответствует  $j$ -му входу ФЭ  $\mathcal{E}_i$ . В дальнейшем мы, как правило, не будем делать различий между функциональным символом  $\varphi_i$  и функциональным элементом  $\mathcal{E}_i$ .

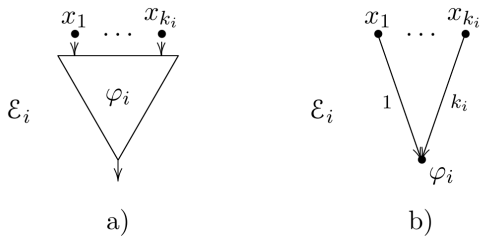


Рис. 4.1: функциональный элемент  $\mathcal{E}_i$

## Определение

*Схемой из функциональных элементов над базисом  $B$*  называется ориентированная ациклическая упорядоченная сеть  $\Sigma$ , входная выборка которой состоит из всех истоков  $\Sigma$ , а вершины помечены следующим образом:  
каждому входу (выходу)  $\Sigma$  сопоставлена БП из  $\mathcal{X}$  (соответственно  $\mathcal{Z}$ ), являющаяся пометкой связанной с ним вершины, причем различным входам (выходам) сопоставлены различные БП, а упорядоченность вершин во входной и выходной выборках  $\Sigma$  определяется упорядоченностью сопоставленных им БП;  
каждая отличная от истока вершина  $v$  схемы  $\Sigma$  помечена ФС  $\varphi_i$ , где  $k_i = d_{\Sigma}^+(v)$ .

Заметим, что в общем случае вершины в выходной выборке СФЭ могут повторяться, то есть одной и той же выходной вершине может быть сопоставлено несколько БП из  $\mathcal{Z}$ . Если множество  $X = \{x_{i_1}, \dots, x_{i_n}\}$  ( $Z = \{z_{j_1}, \dots, z_{j_m}\}$ ) состоит из всех входных (соответственно выходных) БП СФЭ  $\Sigma$ , перечисленных в порядке возрастания их номеров в алфавите  $\mathcal{X}$  (соответственно  $\mathcal{Z}$ ), то будем записывать СФЭ  $\Sigma$  в виде  $\Sigma = \Sigma(X; Z)$  или  $\Sigma = \Sigma(x; z)$ , где  $x = (x_{i_1}, \dots, x_{i_n})$  и  $z = (z_{j_1}, \dots, z_{j_m})$  — наборы БП, соответствующие множествам  $X$  и  $Z$ .

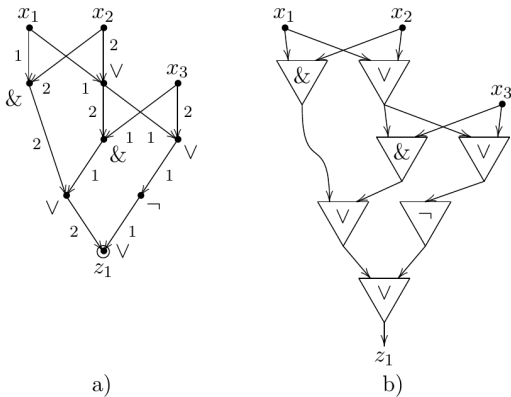


Рис. 4.2: СФЭ, полученная из квазидерева на рис. 2.2b

Схема  $\Sigma$ , которая получается из дерева  $\mathcal{D}$ , связанного с формулой  $\mathcal{F}$  из  $\mathcal{U}_B^\Phi$ , в результате отождествления листьев в одинаковыми пометками и приписывания его корню выходной БП из  $\mathcal{Z}$ , называется *квазидеревом*, *соответствующим формуле  $\mathcal{F}$* . Заметим, что указанное квазидерево  $\Sigma$  однозначно определяет формулу  $\mathcal{F}$  и является СФЭ над базисом  $B$ . Из этого квазидерева путем «отождествления» (наложения) его изоморфных квазиподдеревьев можно получать и другие СФЭ, задающие формулу  $\mathcal{F}$ . На рис. 2.2b показано квазидерево над базисом  $B_0$  с входными БП  $x_1, x_2, x_3$  и выходной БП  $z_1$ , которое получено из дерева, сопоставленного формуле (2.3) и изображенного на рис. 2.2a. На рис. 4.2a приведена СФЭ, полученная из данного квазидерева в результате отождествления двух его изоморфных квазиподдеревьев, а на рис. 4.2b дано более «наглядное» изображение этой СФЭ в виде системы соединенных соответствующим образом ФЭ.

Обозначим через  $\mathcal{U}_B^C$  множество всех СФЭ над базисом  $B$ , и пусть  $\mathcal{U}^C = \mathcal{U}_{B_0}^C$ . Заметим, что система квазидеревьев с общими входами, соответствующая системе формул над базисом  $B$ , является СФЭ над  $B$ , если выходам этих квазидеревьев приписаны различные выходные БП. В связи с этим формулы над  $B$  и их системы будем считать частным случаем СФЭ над  $B$ , полагая, что имеет место включение  $\mathcal{U}_B^\Phi \subseteq \mathcal{U}_B^C$ . Заметим также, что СФЭ  $\Sigma$ ,  $\Sigma \in \mathcal{U}_B^C$ , входит в  $\mathcal{U}_B^\Phi$  тогда и только тогда, когда все стоки  $\Sigma$ , и только они, являются ее выходами, а из каждой вершины  $\Sigma$ , отличной от ее входов и выходов, исходит одна дуга.

Определим теперь функционирование СФЭ  $\Sigma = \Sigma(x_1, \dots, x_n; z_1, \dots, z_m)$  над базисом  $\mathcal{B}$ . Сначала индукцией по  $q$ ,  $q = 0, 1, \dots$ , определим для каждой вершины  $v$  глубины  $q$  в схеме  $\Sigma$  реализуемую в ней формулу  $\mathcal{F}_v = \mathcal{F}_v(x_1, \dots, x_n)$  глубины  $q$  над базисом  $\mathcal{B}$ . Если  $q = 0$ , то есть  $v$  — вход  $\Sigma$ , положим  $\mathcal{F}_v = x_j$ , где  $x_j$  — входная БП, сопоставленная вершине  $v$ .



Пусть теперь  $v$  — вершина глубины  $q$ ,  $q \geq 1$ , схемы  $\Sigma$ , которая имеет пометку  $\varphi_i$  и в которую входит  $k_i$  дуг, причем дуга с номером  $j$ ,  $1 \leq j \leq k_i$ , исходит из вершины  $v_j$  глубины  $q_j$ , где уже реализована формула  $\mathcal{F}_j = \mathcal{F}_{v_j}$  глубины  $q_j$ , а для чисел  $q, q_1, \dots, q_{k_i}$  выполнено (2.2). Тогда в вершине  $v$  реализуется формула  $\mathcal{F} = \mathcal{F}_v$  вида (2.1), которая имеет глубину  $q$ . При этом считается, что в вершине  $v$  СФЭ  $\Sigma$  реализуется ФАЛ  $f(x_1, \dots, x_n)$ , если ФАЛ  $f$  реализуется формулой  $\mathcal{F}_v$ , и что СФЭ  $\Sigma$  реализует систему ФАЛ  $F$ ,  $F = (f_1, \dots, f_m)$ , или реализует систему булевых уравнений  $z_1 = f_1, \dots, z_m = f_m$ , если  $f_j$ ,  $j = 1, \dots, m$ , — ФАЛ, реализованная в той выходной вершине СФЭ  $\Sigma$ , которой приписана БП  $z_j$ .

Заметим, что квазидерево, которое соответствует формуле  $\mathcal{F}$ , реализующей ФАЛ  $f$ , а также любая СФЭ, полученная из него отождествлением изоморфных квазиподдеревьев, реализует и формулу  $\mathcal{F}$ , и ФАЛ  $f$ . Так, СФЭ на рис. 4.2 реализует формулу (2.3) и ФАЛ  $s_3^{\{0,2,3\}}(x_1, x_2, x_3)$ , или уравнение  $z_1 = s_3^{\{0,2,3\}}(x_1, x_2, x_3)$ .

Две СФЭ считаются изоморфными, если они изоморфны как помеченные графы, и эквивалентными, если они реализуют равные системы ФАЛ. Заметим, что СФЭ всегда эквивалентна системе формул, реализуемых ею на своих выходах. Заметим также, что изменение нумерации дуг, входящих в такую вершину  $v$  СФЭ  $\Sigma$ , которой сопоставлен ФЭ  $\varepsilon_i$  с симметрической ФАЛ  $\varphi_i$ , не изменяет ФАЛ, реализуемую в вершине  $v$ , а значит, не влияет на функционирование  $\Sigma$ . Схемы, получающиеся друг из друга в результате указанных преобразований, называются *квазиизоморфными*, а номера дуг, входящих в вершину  $v$  с симметрической ФАЛ, как правило, не указываются. Легко видеть, что в соответствующих друг другу вершинах изоморфных (квазиизоморфных) СФЭ реализуются одинаковые (соответственно подобные) формулы, а значит, и одинаковые ФАЛ. Следовательно, две изоморфные (квазиизоморфные) СФЭ эквивалентны, то есть для СФЭ справедливо неравенство (1.7).



Также как и для формул, для каждой СФЭ  $\Sigma$ ,  $\Sigma \in \mathcal{U}_B^C$ , определим следующие параметры (функционалы сложности):

$L(\Sigma)$  — сложность  $\Sigma$ , то есть число всех ее ФЭ;

$D(\Sigma)$  — глубина  $\Sigma$ , то есть максимальная глубина ее вершин.

$R(\Sigma)$  — ранг  $\Sigma$ , то есть число дуг, исходящих из ее входов.





Обозначим через  $\mathcal{U}_B^\Phi(L, n)$  и  $\mathcal{U}_B^\Phi[D, n]$  множество формул  $\mathcal{F} = \mathcal{F}(x_1, \dots, x_n)$  над базисом  $B$ , для которых  $L(\mathcal{F}) \leq L$  и  $D(\mathcal{F}) \leq D$ , причем индекс  $B_0$  будем, как обычно, опускать. Заметим, что из неравенства (2.4) вытекает включение

$$\mathcal{U}^\Phi[D, n] \subseteq \mathcal{U}^\Phi(2^D - 1, n). \quad (4.2)$$

Для любого конечного множества схем  $\mathcal{U}$  через  $|\mathcal{U}|$  естественным образом будем обозначать число попарно неизоморфных схем в этом множестве, а через  $\|\mathcal{U}\|$  — число попарно неэквивалентных схем в  $\mathcal{U}$  (ясно, что  $\|\mathcal{U}\| \leq |\mathcal{U}|$ ).







## Продолжение доказательства

Пронумеруем множество нелистовых вершин дерева  $\mathcal{D}'$  числами  $1, 2, \dots, q$  в порядке обхода в глубину и сопоставим каждой такой вершине  $v$  с полустепенью захода  $d$ ,  $d \in [1, 2]$  набор  $\alpha$ ,  $\alpha \in B^d$ , где  $\alpha = (\alpha_1, \dots, \alpha_d)$  и  $\alpha_j = 1$  тогда и только тогда, когда дуга с номером  $j$ , входящая в  $v$ , начинается с листа дерева  $\mathcal{D}'$ . Заметим, что набор  $\gamma = (\gamma_1, \dots, \gamma_L)$ , где  $\gamma_i$  — набор, сопоставленный вершине с номером  $i$ , если  $1 \leq i \leq q$ , и произвольный набор из объединения  $B^1 \cup B^2$  в случае  $i > q$ , а также набор ФС  $\&$  и  $\vee$ , приписанных тем вершинам  $v_i$ ,  $1 \leq i \leq L$ , для которых  $\gamma_i \in B^2$ , однозначно определяет дерево  $\mathcal{D}'$  с точностью до изоморфизма.

## Продолжение доказательства

Следовательно, число упорядоченных деревьев  $\mathcal{D}'$  рассматриваемого вида не больше, чем  $10^L$ , а число получаемых из него деревьев  $\mathcal{D}$  не больше, чем  $n^{L+1}$ , так как в силу леммы 2.1

$$R(\mathcal{F}) \leq L + 1.$$

Перемножая указанные числа, получаем оценку (4.3). Оценка (4.4) доказывается аналогично с учетом того, что при снятии нумерации с дуг дерева  $\mathcal{D}'$ , то есть при рассмотрении формул с точностью до квазиизоморфизма, двоичные наборы длины 2, сопоставленные его вершинам, можно выбирать из множества  $\{(00), (01), (11)\}$  и поэтому число неупорядоченных деревьев  $\mathcal{D}'$  рассматриваемого вида не больше, чем  $8^L$ .

Неравенство (4.5) вытекает из (4.4) и (4.2).

Лемма доказана. □

### Замечание

Число попарно не квазиизоморфных формул в базисе  $\{\&, \vee\}$  от БП  $X(n)$  сложности не больше, чем  $L$ , не превосходит  $(6n)^{L+1}$ .

### Лемма 4.3

*Для любых натуральных  $n$  и  $L$  выполняется неравенство*

$$\|\mathcal{U}^C(L, n)\| \leq (8(L + n))^{L+1}. \quad (4.6)$$





Распространим введенные в предыдущем параграфе понятия и обозначения на произвольный класс схем  $\mathcal{U}$ .

Эквивалентность схем  $\Sigma'$  и  $\Sigma''$  из  $\mathcal{U}$  имеет место тогда и только тогда, когда  $\Sigma'$  и  $\Sigma''$  реализуют равные системы (матрицы) ФАЛ. При этом, обычно, предполагается, что соответствующие друг другу полюса (выходы, входы) в  $\Sigma'$  и  $\Sigma''$  имеют одинаковые пометки, а эквивалентность  $\Sigma'$  и  $\Sigma''$  записывается в виде тождества

$$t : \Sigma' \sim \Sigma''.$$

Для схем из  $\mathcal{U}$ , как и для формул, определяется ряд «простейших» преобразований, сохраняющих эквивалентность схем, которые называются *подстановками*.





Будем считать, что для схем из  $\mathcal{U}$ , как и для формул, имеет место принцип эквивалентной замены, то есть заменяя подсхему  $\hat{\Sigma}'$  схемы  $\Sigma$  эквивалентной ей схемой  $\hat{\Sigma}''$  мы получаем схему  $\tilde{\Sigma}$ , которая эквивалентна схеме  $\Sigma$ . При этом все введенные для случая эквивалентных преобразований формул понятия (однократная и кратная выводимость, полнота системы тождеств и др.), а также связанные с ними обозначения переносятся на случай ЭП схем из  $\mathcal{U}$  без изменений. Заметим, что вопрос о существовании конечной полной системы тождеств (КПСТ) является одним из основных вопросов, связанных с изучением ЭП схем из заданного класса  $\mathcal{U}$ .



Напомним, что формулы представляют собой частный случай СФЭ, и для определенности будем считать, что любая формула  $\mathcal{F}$  из  $\mathcal{U}_B^\Phi$  является формулой-словом (см. § 2), а соответствующую ей формулу-граф, т. е. квазидерево, будем обозначать через  $\underline{\mathcal{F}}$ . При этом тождеству  $t: \mathcal{F}' = \mathcal{F}''$ , где  $\mathcal{F}'$  и  $\mathcal{F}''$  — формулы из  $\mathcal{U}_B^\Phi$ , будет соответствовать тождество  $\underline{t}: \underline{\mathcal{F}}' \sim \underline{\mathcal{F}}''$ , где  $\underline{\mathcal{F}}'$  и  $\underline{\mathcal{F}}''$  — соответствующие  $\mathcal{F}'$  и  $\mathcal{F}''$  схемы из  $\mathcal{U}_B^C$ , являющееся «схемным» аналогом тождества  $t$ .











Заметим, что применение тождества снятия равносильно выполнению операции удаления висячей вершины соответствующего типа. Заметим также, что тождества  $t_{\mathcal{E}_i}^B, t_{\mathcal{E}_i}^C, t_{\text{вх}}^C$  не являются аналогами формульных тождеств и положим

$$\tau_B^B = \{t_{\mathcal{E}_i}^B\}_{i=1}^b, \quad \tau_B^C = \{t_{\mathcal{E}_i}^C\}_{i=1}^b \cup \{t_{\text{вх}}^C\}.$$

Очевидно, что с помощью этих тождеств можно избавиться от всех висячих вершин и всех внутренних ветвлений, имеющих в СФЭ. Следовательно, для любой СФЭ  $\Sigma, \Sigma \in \mathcal{U}_B^C$ , существует ЭП вида  $\Sigma \stackrel{\tau_B^C, \tau_B^B}{\mapsto} \mathcal{F}$ , где  $\mathcal{F}$  —

формула (система формул) из  $\mathcal{U}_B^\Phi$ .

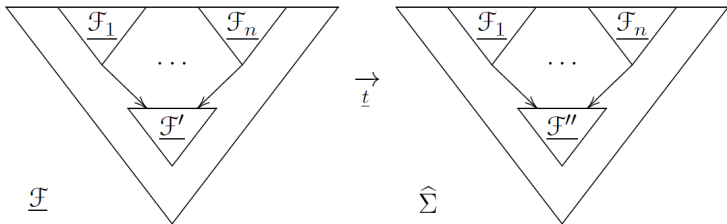


Рис. 5.3: моделирование ЭП формул с помощью ЭП СФЭ



В остальных случаях из подформулы вида  $\mathcal{F}'(\mathcal{F}_1, \dots, \mathcal{F}_n)$  формулы  $\mathcal{F}$  необходимо с помощью тождеств  $\tau_B^B$  сформировать сначала подсхему  $\underline{\mathcal{F}}'(\underline{\mathcal{F}}_1, \dots, \underline{\mathcal{F}}_n)$ , а затем применить тождество  $\underline{t}$ . При этом в СФЭ  $\widehat{\Sigma}$  могут появиться висячие вершины или внутренние «ветвления», и тогда для перехода от  $\widehat{\Sigma}$  к  $\widehat{\mathcal{F}}$  необходимо провести ЭП вида  $\widehat{\Sigma} \xrightarrow[\{\tau^C, \tau^B\}]{\tau} \widehat{\mathcal{F}}$ . Следовательно, для любого ЭП вида  $\mathcal{F} \xrightarrow[\tau]{\tau} \widehat{\mathcal{F}}$ , где  $\mathcal{F}, \widehat{\mathcal{F}} \in \mathcal{U}_B^\Phi$ , существует моделирующее его ЭП вида

$$\underline{\mathcal{F}} \xrightarrow[\{\underline{t}, \tau_B^B, \tau_B^C\}]{\tau} \underline{\widehat{\mathcal{F}}}.$$





Рассмотрим далее вопросы структурного моделирования формул в различных базисах. Пусть помимо базиса  $B = \{\varphi_i\}_{i=1}^b$  у нас имеется другой конечный полный базис  $B' = \{\varphi'_i\}_{i=1}^{b'}$ , и пусть формула  $\Phi'_i(x_1, \dots, x_{k'_i})$  из  $\mathcal{U}_{B'}^{\Phi'}$ , где  $k'_i \geq k_i$ , реализует ФАЛ  $\varphi_i$ ,  $i = 1, \dots, b$ . Заметим, что в случае  $k'_i > k_i$  БП  $x_{k_i+1}, \dots, x_{k'_i}$  являются фиктивными БП формулы  $\Phi'_i$ . Положим

$$\Phi' = (\Phi'_1, \dots, \Phi'_b), \quad \Pi' = (\Pi'_1, \dots, \Pi'_b),$$

где  $\Pi'_i$  — тождество вида  $\varphi_i = \Phi'_i$ ,  $i = 1, \dots, b$ , и формулы из  $\Phi'$  (тождества из  $\Pi'$ ) будем называть *формулами* (соответственно *тождествами*) *перехода от базиса B к базису B'*.





Заметим, что этот переход является специальным ЭП вида

$$\mathcal{F} \underset{\Pi'}{\mapsto} \Pi'(\mathcal{F})$$

для формул над базисом  $B \cup B'$ . Отсюда следует, в частности, что в результате указанного структурного моделирования обеих частей тождества  $t$ , являющихся формулами из  $\mathcal{U}_B^\Phi$ , получается тождество  $t'$  для формул из  $\mathcal{U}_{B'}^\Phi$ , которое мы будем обозначать через  $\Pi'(t)$ . Множество формул вида  $\Pi'(\mathcal{F})$ , где  $\mathcal{F} \in \mathfrak{F} \subseteq \mathcal{U}_B^\Phi$ , будем обозначать через  $\Pi'(\mathfrak{F})$ , а множество тождеств вида  $\Pi'(t)$ , где  $t \in \tau$  — тождество над  $\mathcal{U}_B^\Phi$ , — через  $\Pi'(\tau)$ .

Рассмотрим теперь вопросы моделирования ЭП формул в базисе  $B$  с помощью ЭП формул базиса  $B'$ . Пусть  $\Phi' = (\Phi'_1, \dots, \Phi'_b)$  — система формул перехода от базиса  $B$  к базису  $B'$ , а  $\Pi' = (\Pi'_1, \dots, \Pi'_b)$  — система тождеств перехода, связанная с  $\Phi'$ . Заметим, что любое ЭП для формул из  $\mathcal{U}_B^\Phi$ , имеющее вид

$$\mathcal{F} \underset{\tau}{\mapsto} \widehat{\mathcal{F}}, \quad (5.1)$$

может быть «промоделировано» с помощью ЭП для формул из  $\mathcal{U}_{B'}^{\Phi'}$  вида

$$\mathcal{F}' \underset{\tau'}{\mapsto} \widehat{\mathcal{F}}', \quad (5.2)$$

где  $\mathcal{F}' = \Pi'(\mathcal{F})$ ,  $\widehat{\mathcal{F}}' = \Pi'(\widehat{\mathcal{F}})$  и  $\tau' = \Pi'(\tau)$ .

Действительно, пусть ЭП (5.1) является однократным ЭП на основе тождества  $t$ ,  $t \in \tau$ , которое имеет вид

$$t : \mathfrak{A}(x_1, \dots, x_q) = \mathfrak{B}(x_1, \dots, x_q),$$

и пусть формула  $\widehat{\mathfrak{F}}$  получается в результате замены подформулы  $\mathfrak{A}(\mathcal{F}_1, \dots, \mathcal{F}_q)$  формулы  $\mathcal{F}$  формулой  $\mathfrak{B}(\mathcal{F}_1, \dots, \mathcal{F}_q)$ . Тогда тождество  $t' = \Pi'(t)$  имеет вид

$$t' : \mathfrak{A}'(x_1, \dots, x_1) = \mathfrak{B}(x_1, \dots, x_q),$$

где  $\mathfrak{A}' = \Pi'(\mathfrak{A})$  и  $\mathfrak{B}' = \Pi'(\mathfrak{B})$ , а формула  $\widehat{\mathfrak{F}'}$  может быть получена из формулы  $\mathcal{F}'$  в результате замены ее подформулы  $\mathfrak{A}'(\mathcal{F}'_1, \dots, \mathcal{F}'_q)$ , где  $\mathcal{F}'_j = \Pi'(\mathcal{F}_j)$  для всех  $j$ ,  $j \in [1, q]$ , формулой  $\mathfrak{B}'(\mathcal{F}'_1, \dots, \mathcal{F}'_q)$ .

Моделирование кратного ЭП вида (5.1) с помощью кратного ЭП вида (5.2) осуществляется путем последовательного моделирования однократных ЭП, составляющих ЭП (5.1). Описанное выше моделирование позволяет выполнять ЭП для тех эквивалентных формул из  $\mathcal{U}_{B'}^{\Phi}$ , которые принадлежат множеству  $\Pi'(\mathcal{U}_B^{\Phi})$ , то есть являются «моделями» формул из  $\mathcal{U}_B^{\Phi}$ , на основе системы тождеств  $\Pi'(\tau)$ , являющихся «моделями» тождеств из  $\tau$ . Для того чтобы проводить ЭП для произвольных формул из  $\mathcal{U}_{B'}^{\Phi}$ , с использованием системы тождеств  $\Pi'(\tau)$ , выберем какую-либо систему формул перехода  $\Phi = (\Phi_1, \dots, \Phi_{b'})$  от базиса  $B'$  к базису  $B$  и рассмотрим связанную с ней систему тождеств перехода  $\Pi = (\Pi_1, \dots, \Pi_{b'})$ .

Пусть  $\check{\Pi}$  — система тождеств вида  $\check{\Pi} = \Pi'(\Pi)$  для ЭП формул из  $\mathcal{U}_{\mathcal{B}}^{\Phi}$ , которая получается в результате структурного моделирования правых частей тождеств из  $\Pi$  на основе системы тождеств  $\Pi'$ . Для произвольной формулы  $\mathcal{F}'$ ,  $\mathcal{F}' \in \mathcal{U}_{\mathcal{B}'}^{\Phi}$ , положим

$$\check{\Pi}(\mathcal{F}') = \Pi'(\Pi(\mathcal{F}'))$$

и заметим, что

$$\mathcal{F}' \underset{\check{\Pi}}{\stackrel{\Pi}{\rightleftharpoons}} \check{\mathcal{F}}' = \check{\Pi}(\mathcal{F}'), \quad \check{\mathcal{F}}' \in \Pi'(\mathcal{U}_{\mathcal{B}}^{\Phi}).$$

В силу сказанного выше, отсюда вытекает справедливость следующего утверждения.

### Теорема 5.2 (теорема перехода)

*Пусть  $\tau$  — КПСТ для ЭП формул из  $\mathcal{U}_B^\Phi$ , а  $\Pi'$  и  $\Pi$  — системы тождеств для перехода от базиса  $B$  к базису  $B'$  и от базиса  $B'$  к базису  $B$  соответственно. Тогда система тождеств  $\{\Pi'(\tau), \Pi'\Pi\}$  является КПСТ для ЭП формул из  $\mathcal{U}_{B'}^\Phi$ .*

### Следствие

*Из системы тождеств  $\tau^{\text{осн}}$  для ЭП формул из  $\mathcal{U}^\Phi$  (см. § 3) указанным в теореме способом можно получить КПСТ для ЭП формул в любом базисе  $B$ .*

Аналогичным образом на основе теоремы 5.1 решаются вопросы построения КПСТ для ЭП СФЭ в произвольном базисе.

**§6. Контактные схемы и  $\pi$ -схемы, оценка их числа.  
Особенности функционирования многополюсных  
схем**





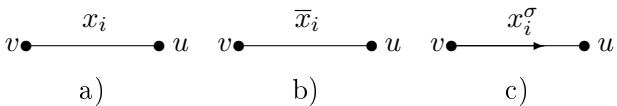


Рис. 6.1: типы контактов

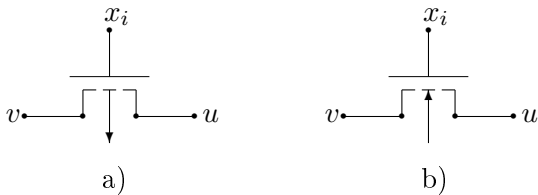


Рис. 6.2: физическая интерпретация контактов

Считается, что контакт вида  $x_i^\sigma$ ,  $\sigma \in \{0, 1\}$ , проводит тогда и только тогда, когда  $x_i = \sigma$ , причем ориентированный контакт, то есть контакт, связанный с дугой, проводит только в соответствующем направлении.

С точки зрения управления проводимостью неориентированный размыкающий (замыкающий) контакт БП  $x_i$  функционирует как  $p$ -МОП (соответственно  $n$ -МОП) транзистор, на затвор которого поступает БП  $x_i$  (см. рис. 6.2а и 6.2b), а аналогичный ориентированный контакт — как МОП-транзистор соответствующего типа с диодом Шоттки. Кроме того, ориентированный контакт вида  $x_i^\sigma$ , идущий из вершины  $v$  в вершину  $u$  (см. рис. 6.1с), часто рассматривают как команду условного перехода из  $v$  в  $u$ , который выполняется, если  $x_i = \sigma$ .

Сеть  $\Sigma$  с входами  $a'_1, \dots, a'_p$  и выходами  $a''_1, \dots, a''_q$ , в которой все ребра (дуги) помечены переменными  $x_1, \dots, x_n$  или их отрицаниями  $\bar{x}_1, \dots, \bar{x}_n$ , называется  $(p, q)$ -контактной схемой (КС) от БП  $x_1, \dots, x_n$  и обозначается  $\Sigma = \Sigma(x_1, \dots, x_n)$  или  $\Sigma = \Sigma(x_1, \dots, x_n; a'_1, \dots, a'_p; a''_1, \dots, a''_q)$ . При этом число контактов называется сложностью КС  $\Sigma$  и обозначается через  $L(\Sigma)$ . На рис. 6.3а–с показаны некоторые конкретные КС от БП  $x_1, x_2, x_3$  с входом  $a_1$  и выходами  $a_2, a_3$ .

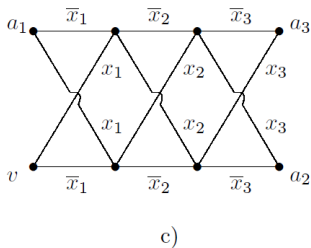
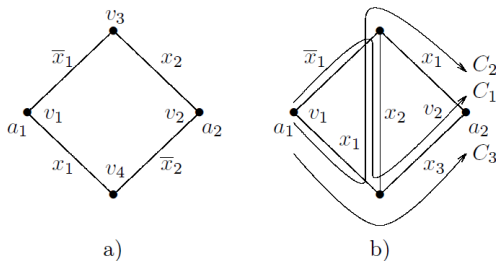


Рис. 6.3: некоторые КС от БП  $x_1, x_2, x_3$

Пусть  $\Sigma$  — КС от БП  $X(n)$  и  $\alpha = (\alpha_1, \dots, \alpha_n)$  — набор из  $B^n$ . Определим сеть  $\Sigma|_\alpha$  как сеть, получающуюся из  $\Sigma$  в результате удаления всех ребер (дуг) с пометками  $x_1^{\bar{\alpha}_1}, \dots, x_n^{\bar{\alpha}_n}$ , то есть ребер, которые не проводят на наборе  $\alpha$ , и снятия пометок с остальных ребер  $\Sigma$ . Для вершин  $v$  и  $u$  КС  $\Sigma$  введем *функцию проводимости от вершины  $v$  к вершине  $u$*  как ФАЛ  $g_{v,u}(x_1, \dots, x_n)$ , которая равна 1 на наборе  $\alpha = (\alpha_1, \dots, \alpha_n) \in B^n$  тогда и только тогда, когда в сети  $\Sigma|_\alpha$  существует  $(v - u)$ -цепь, то есть тогда и только тогда, когда в  $\Sigma$  имеется цепь из проводящих на наборе  $\alpha$  контактов вида  $x_1^{\alpha_1}, \dots, x_n^{\alpha_n}$ , идущая из  $v$  в  $u$ . Будем говорить также, что ФАЛ  $g_{v,u}$  является *функцией достижимости вершины  $u$  из вершины  $v$* , или, иначе, *реализуется между вершинами  $v$  и  $u$* .

Из определения следует, что для нахождения ФАЛ  $g_{v,u}(x_1, \dots, x_n)$  достаточно просмотреть все наборы  $\alpha$ ,  $\alpha \in B^n$ , и для каждого из них выяснить наличие или отсутствие в  $\Sigma$  цепи, состоящей из проводящих на наборе  $\alpha$  контактов, которая идет из  $v$  в  $u$ . Так, просматривая все наборы значений БП  $x_1, x_2$ , можно убедиться в том, что ФАЛ проводимости  $g_{v_1,v_2}(x_1, x_2)$  в КС  $\Sigma$ , показанной на рис. 6.3а, равна  $x_1 \oplus x_2$ , а ФАЛ проводимости  $g_{v_3,v_4}$  равна 0. Будем считать, что в каждой вершине  $(1, m)$ -КС  $\Sigma(x_1, \dots, x_n; a_1; a_2, \dots, a_{m+1})$  реализуется ФАЛ проводимости от входа  $a_1$  к этой вершине и что  $\Sigma$  реализует систему ФАЛ  $F = (f_1, \dots, f_m)$ , где  $f_j$  — ФАЛ проводимости от  $a_1$  к выходу с пометкой  $a_{j+1}$ ,  $j \in [1, m]$ . При этом, очевидно, в вершине  $a_1$  реализуется ФАЛ 1, которую в дальнейшем по умолчанию будем использовать в качестве пометки единственного входа  $(1, m)$ -КС.

Так, КС, изображенные на рис. 6.3а, 6.3б и 6.3с, реализуют ФАЛ  $x_1 \oplus x_2$ ,  $H(x_1, x_2, x_3)$  и набор ФАЛ  $(x_1 \oplus x_2 \oplus x_3, x_1 \oplus x_2 \oplus x_3 \oplus 1)$  соответственно. На рис. 6.4а показана  $(1, 2^n)$ -КС  $\mathcal{D}(x_1, \dots, x_n; 1; a_0, \dots, a_{2^n-1})$ , которая называется  $(1, 2^n)$ -контактным деревом порядка  $n$  от БП  $X(n)$ . Легко видеть, что в выходной вершине  $a_i$ ,  $i = 0, \dots, 2^n - 1$ , этого контактного дерева (КД) реализуется ЭК вида  $x_1^{\sigma_1} \cdots x_n^{\sigma_n}$ , где  $\nu(\sigma_1, \dots, \sigma_n) = (i - 1)$ , и что ФАЛ проводимости между любыми его выходами равна 0. Таким образом,  $(1, 2^n)$ -КД порядка  $n$  является дешифратором порядка  $n$ , то есть схемой, реализующей систему  $Q_n$  из всех ЭК ранга  $n$  от БП  $X(n)$ . Схемы  $\Sigma'$  и  $\Sigma''$  считаются, как обычно, *изоморфными*, если изоморфны соответствующие им графы, и *эквивалентными*, если они реализуют равные системы ФАЛ. Изоморфные КС, очевидно, эквивалентны.

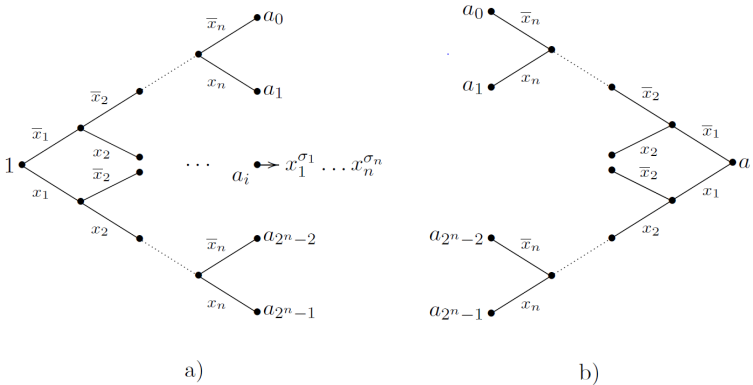


Рис. 6.4:  $(1, 2^n)$ - и  $(2^n, 1)$ -контактные деревья порядка  $n$



Для множества  $C$ , состоящего из контактов вида  $x_{i_1}^{\sigma_1}, \dots, x_{i_r}^{\sigma_r}$  в КС  $\Sigma$ , определим его *функцию проводимости*  $K(C)$  и *функцию отделимости*  $J(C)$  как ФАЛ вида  $x_{i_1}^{\sigma_1} \cdots x_{i_r}^{\sigma_r}$  и  $x_{i_1}^{\bar{\sigma}_1} \vee \dots \vee x_{i_r}^{\bar{\sigma}_r}$  соответственно. При этом множество  $C$  называется *проводящим (отделимым)*, если  $K(C) \neq 0$  ( $J(C) \neq 1$ ), и *нулевым* (соответственно *единичным*) в противном случае. Заметим, что в результате приведения подобных отличная от 0 ФАЛ  $K(C)$  и отличная от 1 ФАЛ  $J(C)$  могут быть преобразованы в ЭК и ЭД соответственно. Очевидно, также, что

$$K(C') \geq K(C) \quad \text{и} \quad J(C') \leq J(C),$$

если  $C' \subseteq C$ .

Из введенных определений следует, что ФАЛ  $g$ , реализуемая КС  $\Sigma(x_1, \dots, x_n; a_1; a_2)$ , обращается в 1 (обращается в 0) на наборе  $\alpha$ ,  $\alpha \in B^n$ , тогда и только тогда, когда в  $\Sigma$  существует множество контактов  $C$ , образующее простую проводящую  $(a_1 - a_2)$ -цепь (соответственно тупиковое отделимое  $(a_1|a_2)$ -сечение), для которого  $K(C) = 1$  (соответственно  $J(C) = 0$ ) на наборе  $\alpha$ . Таким образом,

$$\begin{aligned}
 g(x_1, \dots, x_n) &= K(C_1) \vee \dots \vee K(C_t) = \\
 &= J(S_1) \& \dots \& J(S_r), \quad (6.1)
 \end{aligned}$$

где  $C_1, \dots, C_t$  и  $S_1, \dots, S_r$  — все простые проводящие  $(a_1 - a_2)$ -цепи и все тупиковые отделимые  $(a_1|a_2)$ -сечения КС  $\Sigma$ .

Заметим, что первая из формул (6.1) может быть преобразована в ДНФ, а вторая — в КНФ, в результате приведения подобных (см. §3), если  $g \neq 0$  и  $g \neq 1$  соответственно. Так, в КС, показанной на рис. 6.3b, имеются три простые проводящие цепи  $C_1$ ,  $C_2$  и  $C_3$ , которые идут из  $a_1$  в  $a_2$ . При этом

$$K(C_1) = \bar{x}_1 x_2 x_3, \quad K(C_2) = x_1 x_2 x_1 = x_1 x_2, \quad K(C_3) = x_1 x_3$$

и, следовательно,

$$\begin{aligned} g(x_1, x_2, x_3) &= \bar{x}_1 x_2 x_3 \vee x_1 x_2 \vee x_1 x_3 = \\ &= x_1 x_2 \vee x_2 x_3 \vee x_3 x_1 = H(x_1, x_2, x_3). \end{aligned}$$

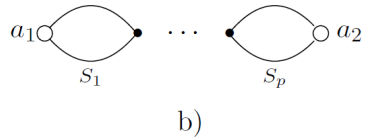
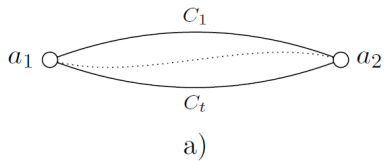


Рис. 6.5: КС, моделирующие ДНФ и КНФ

Простейшей  $\pi$ -схемой считается любая  $(1, 1)$ -КС, которая состоит из одного контакта, соединяющего полюса (см. рис. 6.6а). Если  $\pi$ -схемы  $\Sigma_1$  и  $\Sigma_2$  уже определены, то  $(1, 1)$ -КС  $\Sigma'$  ( $\Sigma''$ ), которая получается в результате их параллельного (соответственно последовательного) соединения (см. рис. 6.6b и 6.6c) тоже является  $\pi$ -схемой. Заметим, что при этом вход (выход)  $\Sigma'$  является результатом отождествления входов (соответственно выходов)  $\Sigma_1$  и  $\Sigma_2$ , тогда как входом  $\Sigma''$  является вход  $\Sigma_1$ , выходом  $\Sigma''$  — выход  $\Sigma_2$ , а выход  $\Sigma_1$  отождествляется с входом  $\Sigma_2$  и становится внутренней вершиной  $\Sigma''$ . Легко видеть, что  $\pi$ -схема, показанная на рис. 6.6а, реализует ФАЛ  $x_i^\sigma$ , а  $\pi$ -схемы  $\Sigma'$  и  $\Sigma''$  (см. рис. 6.6b и 6.6c) — ФАЛ  $f_1 \vee f_2$  и  $f_1 \& f_2$  соответственно, где  $f_1$  и  $f_2$  — ФАЛ, реализуемые  $\pi$ -схемами  $\Sigma_1$  и  $\Sigma_2$  соответственно.

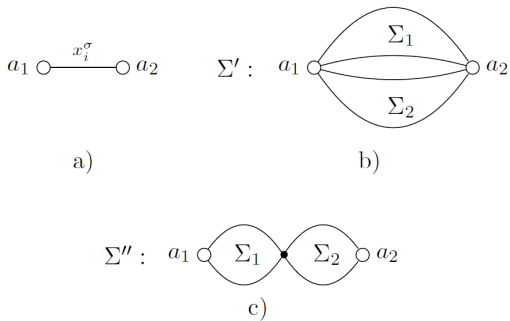


Рис. 6.6: к определению  $\pi$ -схемы



## Доказательство.

Построим формулу  $\mathcal{F}$  индукцией по строению  $\pi$ -схемы  $\Sigma$ .  
Если  $\Sigma$  — простейшая  $\pi$ -схема вида  $x_i^\sigma$ , то положим  $\mathcal{F} = x_i^\sigma$ .  
Если  $\pi$ -схемам  $\Sigma_1$  и  $\Sigma_2$  уже сопоставлены формулы  $\mathcal{F}_1$  и  $\mathcal{F}_2$  с поднятыми отрицаниями, то  $\pi$ -схеме  $\Sigma'$  ( $\Sigma''$ ), получающейся в результате параллельного (соответственно последовательного) соединения  $\Sigma_1$  и  $\Sigma_2$ , сопоставим формулу  $\mathcal{F}' = \mathcal{F}_1 \vee \mathcal{F}_2$  (соответственно  $\mathcal{F}'' = \mathcal{F}_1 \& \mathcal{F}_2$ ). При этом

$$R(\mathcal{F}') = R(\mathcal{F}'') = R(\mathcal{F}_1) + R(\mathcal{F}_2)$$

и, следовательно, по индуктивному предположению,

$$R(\mathcal{F}') = R(\mathcal{F}'') = L(\Sigma_1) + L(\Sigma_2) = L(\Sigma).$$

Аналогичным образом, индукцией по строению формулы  $\mathcal{F}$  с поднятыми отрицаниями можно найти эквивалентную ей  $\pi$ -схему  $\Sigma$  такую, что  $L(\Sigma) = R(\mathcal{F})$ .

Лемма доказана.





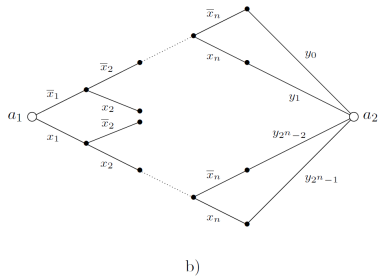
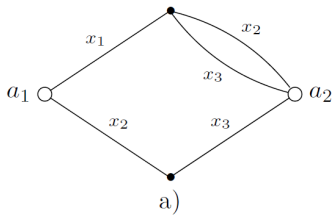


Рис. 6.7: примеры  $\pi$ -схем

На рис 6.7а показана  $\pi$ -схема, которая реализует ФАЛ  $H(x_1, x_2, x_3)$  и соответствует формуле:

$$H(x_1, x_2, x_3) = x_1(x_2 \vee x_3) \vee x_2x_3,$$

а на рис. 6.7b —  $\pi$ -схема, которая построена на основе контактного дерева и реализует ФАЛ  $\mu_n$  — мультиплексорную ФАЛ порядка  $n$ , — в соответствии с формулой

$$\begin{aligned} \mu_n(x_1, \dots, x_n, y_0, \dots, y_{2^n-1}) = \\ = \bigvee_{\sigma_1 \in B} x_1^{\sigma_1} \left( \bigvee_{\sigma_2 \in B} x_2^{\sigma_2} \left( \dots \left( \bigvee_{\sigma_n \in B} x_n^{\sigma_n} y_{\nu(\sigma_1, \dots, \sigma_n)} \right) \dots \right) \right). \end{aligned}$$

Схема, моделирующая совершенную ДНФ ФАЛ  $f$ , называется *канонической КС* для этой ФАЛ.

Будем называть  $(1, m)$ -КС *приведенной*, если все изолированные вершины  $\Sigma$  являются ее полюсами, а все контакты и остальные вершины  $\Sigma$  принадлежат простым проводящим цепям, соединяющим ее вход и выходы. При этом КС  $\widehat{\Sigma}$ , которая получается из КС  $\Sigma$  удалением «лишних», то есть не принадлежащих цепям указанного вида, неполюсных вершин и контактов, является эквивалентной  $\Sigma$  приведенной КС такой, что  $L(\widehat{\Sigma}) \leq L(\Sigma)$ . Заметим, что приведенная КС не содержит петель, а приведенная КС, не реализующая нулевых ФАЛ, является связным графом. Так, КС, показанная на рис. 6.3с, не является приведенной, а соответствующая ей приведенная КС получается из нее удалением вершины  $v$ .

Рассмотрим теперь некоторые оценки числа контактных схем различных типов. Пусть  $\mathcal{U}^K$  и  $\mathcal{U}^\pi$  — множество всех КС из неориентированных контактов и множество всех  $\pi$ -схем соответственно. Если  $\mathcal{U}^A$  — один из указанных классов схем, то через  $\mathcal{U}^A(L, n)$  будем обозначать множество приведенных  $(1, 1)$ -схем  $\Sigma$  из  $\mathcal{U}^A$  от БП  $X(n)$ , для которых  $L(\Sigma) \leq L$ . Для любого множества схем  $\mathcal{U}$  через  $|\mathcal{U}|$  и  $\|\mathcal{U}\|$  будем по-прежнему обозначать число попарно не изоморфных и попарно не эквивалентных схем в  $\mathcal{U}$  соответственно. При этом для любого из введенных выше множеств схем неравенство (1.7) будет выполняться.



## Доказательство.

В силу леммы 6.1, достаточно доказать, что число попарно не эквивалентных формул  $\mathcal{F}(x_1, \dots, x_n)$  с поднятыми отрицаниями над базисом  $B_0$ , для которых  $R(\mathcal{F}) \leq L$ , не превосходит  $(12n)^L$ . Для этого сопоставим формуле  $\mathcal{F}$  указанного вида формулу  $\mathcal{F}'$  из  $\mathcal{U}_{\{\&, \vee\}}^\Phi$  от БП  $x_1, \dots, x_{2n}$ , которая получается из  $\mathcal{F}$  заменой каждой ее подформулы  $\bar{x}_i$ ,  $i \in [1, n]$ , формулой  $x_{i+n}$  и для которой, в силу замечания к лемме 2.1,

$$L(\mathcal{F}') = R(\mathcal{F}) - 1 \leq L - 1.$$

При таком сопоставлении неэквивалентные формулы переходят в неэквивалентные, и поэтому число попарно не эквивалентных формул рассматриваемого вида не больше, чем  $\left\| \mathcal{U}_{\{\&, \vee\}}^\Phi(L - 1, 2n) \right\|$ , откуда, в силу замечания к лемме 4.2, следует (6.2).

Лемма доказана. □



## Доказательство

Возьмем произвольную КС  $\Sigma = \Sigma(x_1, \dots, x_n; a_1; a_2)$ ,  $\Sigma \in \mathcal{U}^K(L, n)$ , и выделим в ней остовное дерево  $\mathcal{D}$  с корнем  $a_2$  так, вершина  $a_1$  была листом  $\mathcal{D}$ . Пусть, далее,  $\mathcal{D}'$  — связанное с  $\mathcal{D}$  остовное наддерево КС  $\Sigma$ , которое получается путем присоединения каждого из не вошедших в  $\mathcal{D}$  ребер  $\Sigma$  к одной из своих концевых вершин, отличной от  $a_1$ , так, чтобы все ребра, инцидентные  $a_2$  в  $\Sigma$ , были бы инцидентны  $a_2$  в  $\mathcal{D}'$ . Рассмотрим ориентированное упорядоченное дерево  $\mathcal{D}''$ , получающееся из  $\mathcal{D}'$  введением (условной) ориентации всех его ребер по направлению к корню и таким их упорядочением, при котором вершина  $a_1$  становится первым листом  $\mathcal{D}''$ .



## Продолжение доказательства

Заметим, что число ребер (вершин, листьев) дерева  $\mathcal{D}''$  не больше, чем  $L$  (соответственно  $L + 1, L$ ), и поэтому, в силу (1.4), число таких деревьев с учетом пометок их ребер символами  $x_1, \dots, x_n, \bar{x}_1, \dots, \bar{x}_n$  не больше, чем  $(8n)^L$ . Заметим также, что КС  $\Sigma$  может быть получена в результате присоединения каждого листа дерева  $\mathcal{D}''$  к одной из его вершин, отличной от  $a_2$ . Следовательно,  $\|\mathcal{U}^K(L, n)\| \leq |\mathcal{U}^K(L, n)| \leq (8nL)^L$ . Лемма доказана.  $\square$

Рассмотрим, в заключение, особенности функционирования КС с несколькими входами. Будем считать, что в каждой вершине  $(p, q)$ -КС  $\Sigma$  реализуется столбец, составленный из  $p$  ФАЛ проводимости от входов  $\Sigma$  к этой вершине, а сама КС  $\Sigma$  реализует матрицу, которая состоит из  $q$  столбцов, реализованных на ее выходах. Таким образом, функционирование КС  $\Sigma = \Sigma(x_1, \dots, x_n; a'_1, \dots, a'_p; a''_1, \dots, a''_q)$  представляет собой матрицу  $F = F(x_1, \dots, x_n)$  с  $p$  строками,  $q$  столбцами и элементами из  $P_2(n)$ , для которой  $F \langle i, j \rangle$  — ФАЛ, реализуемая между  $a'_i$  и  $a''_j$ , где  $i \in [1, p]$  и  $j \in [1, q]$ , то есть при любом  $\alpha$ ,  $\alpha \in B^n$ , матрица  $F(\alpha)$  является матрицей достижимости сети  $\Sigma|_\alpha$ . В частности, функционирование  $(1, q)$ -КС представляет собой набор (строку) из  $q$  ФАЛ проводимости от ее входа к выходам, а функционирование  $(p, 1)$ -КС — столбец из  $p$  ФАЛ проводимости от ее входов к выходу.

Так, КС  $\Sigma(x_1, x_2, x_3; a_1, v; a_2, a_3)$ , показанная на рисунке 6.3с реализует матрицу  $\begin{bmatrix} l_3 & \bar{l}_3 \\ \bar{l}_3 & l_3 \end{bmatrix}$  от БП  $X(3)$ , а на рис. 6.4b приведено  $(2^n, 1)$ -КД порядка  $n$  от БП  $X(n)$ , которое имеет вид  $\mathcal{D}(x_1, \dots, x_n; a_0, \dots, a_{2^n-1}; a)$  и реализует столбец из всех ЭК множества  $Q_n$ , упорядоченных сверху вниз по возрастанию их номеров.

В соответствии с общими правилами функционирования КС  $\Sigma = \Sigma(x_1, \dots, x_n; a_1, \dots, a_m)$  с неразделенными полюсами определяется как функционирование КС с разделенными полюсами вида  $\Sigma(x_1, \dots, x_n; a_1, \dots, a_m; a_1, \dots, a_m)$ .



С другой стороны, любая симметрическая, транзитивная и рефлексивная матрица  $F$ ,  $F \in (P_2(n))^{m,m}$ , реализуется КС  $\Sigma = \Sigma(x_1, \dots, x_n; a_1, \dots, a_m)$ , которая представляет собой объединение всех КС  $\Sigma_{ij} = \Sigma_{ij}(x_1, \dots, x_n; a_i, a_j)$ , где  $1 \leq i < j \leq m$ , а КС  $\Sigma_{ij}$  является  $\pi$ -схемой и построена по совершенной ДНФ ФАЛ  $F \langle i, j \rangle$  и считается *канонической КС матрицы  $F$* .

**§7. Эквивалентные преобразования контактных схем.  
Основные тождества, вывод вспомогательных и  
обобщенных тождеств**





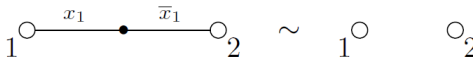
a)  $t_1 :$

$$\bullet \sim \emptyset$$

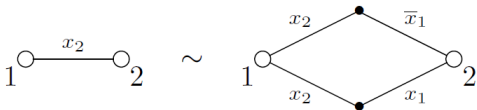
b)  $t_2 :$



c)  $t_3 :$

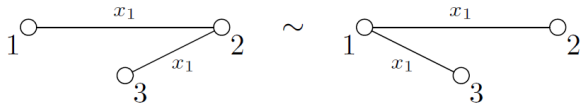


d)  $t_4 :$





e)  $t_5$  :



f)  $t_6^{(m)}$  :

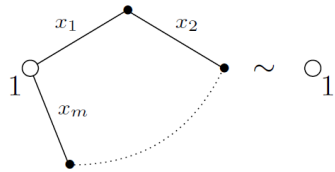


Рис. 7.1: основные тождества для КС

Определим подстановку для КС как переименование (с возможным отождествлением и инвертированием) БП, а также переименование (с возможным отождествлением и снятием) полюсов. Заметим, что применяя одну и ту же подстановку к двум эквивалентным КС, мы получим эквивалентные КС. Действительно, для переименования БП и переименования без отождествления полюсов это очевидно, а в случае отождествления полюсов эквивалентность получаемых КС вытекает из того, что матрица достижимости КС, являющейся результатом отождествления, однозначно определяется матрицей достижимости исходной КС. На рис. 7.2а (7.2б) показана подстановка  $\widehat{t}_4$  тождества  $t_4$  (соответственно  $\widehat{t}_5$  тождества  $t_5$ ), связанная с переименованием БП  $x_2$  в  $x_1$  (соответственно полюсов  $1 = 3$  в  $1$ ).

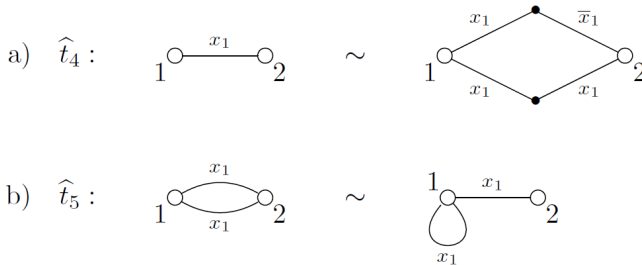


Рис. 7.2: подстановки для основных тождеств

Понятие подсхемы для КС из рассматриваемого класса определяется так. Для подсхемы  $\Sigma'$  КС  $\Sigma$  имеет место включение  $V(\Sigma') \subseteq V(\Sigma)$  и  $E(\Sigma') \subseteq E(\Sigma)$ , а полюсами  $\Sigma'$  являются все принадлежащие ей полюса КС  $\Sigma$  и все те ее вершины, которые инцидентны в  $\Sigma$  ребрам из  $E(\Sigma) \setminus E(\Sigma')$ , и, возможно, некоторые другие вершины. При таком определении подсхемы для рассматриваемого класса КС будет выполняться принцип эквивалентной замены.

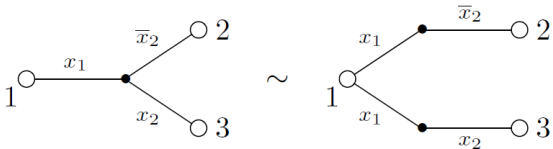




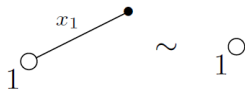
a)  $t_7 :$



b)  $t_8 :$



c)  $t_9 :$





## Доказательство.

Заметим, что выводимость  $\{t_5, t_6^{(1)}\} \Rightarrow t_7$  доказывается применением тождества  $t_6^{(1)}$  к правой части тождества  $\hat{t}_5$  (см. рис. 7.2а) для удаления из нее «висячего» цикла длины 1. Выводимость тождеств  $t_8 - t_{11}$  из основных тождеств  $\{t_1 - t_5, t_6^{(1)}, t_6^{(2)}\}$  показана на рис. 7.4–7.7 соответственно, где  $\Sigma_i$  и  $\check{\Sigma}_i$  — левая и правая части тождества  $t_i$ ,  $i \in [8, 11]$ .  $\square$



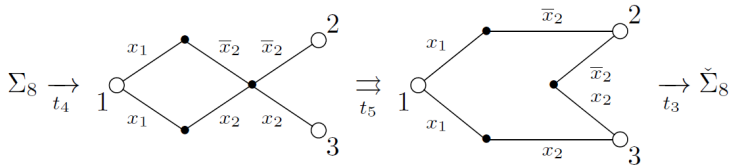


Рис. 7.4: ВЫВОД  $t_8$

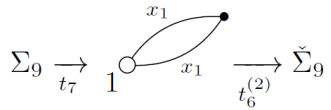


Рис. 7.5: ВЫВОД  $t_9$

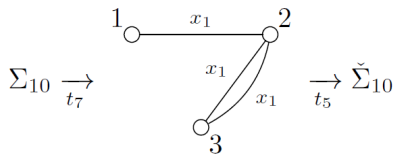
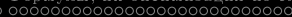


Рис. 7.6: вывод  $t_{10}$

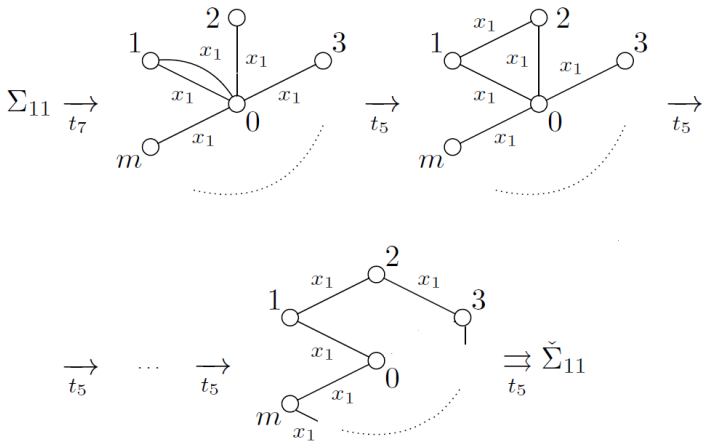


Рис. 7.7: вывод  $t_{11}$

Обобщим тождества  $t_1-t_{11}$  на случай КС от БП  $X(n)$ , где  $n \geq 2$ . Для каждого  $i$ ,  $i \in [1, 2^n]$ , сопоставим ЭК вида  $x_1^{\sigma_1} \cdots x_n^{\sigma_n}$ , где  $\nu(\sigma_1, \dots, \sigma_n) = i - 1$ , моделирующую ее цепочку  $I_i^{(n)}$ , и пусть

$$\begin{aligned} I_i^{(n)} &= I_i, & i \in [1, 2^n], & & I &= I_{2^n}; \\ I_i^{(n-1)} &= I'_i, & i \in [1, 2^{n-1}], & & I' &= I'_{2^{n-1}}; \\ I_i^{(n-2)} &= I''_i, & i \in [1, 2^{n-2}], & & I'' &= I''_{2^{n-2}}. \end{aligned}$$

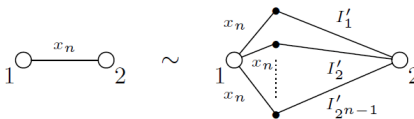
a)  $t_2^{(n)}$  :



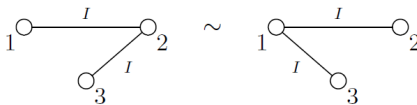
b)  $t_3^{(n)}$  :



c)  $t_4^{(n)}$  :



d)  $t_5^{(n)}$  :



e)  $t_7^{(n)}$  :



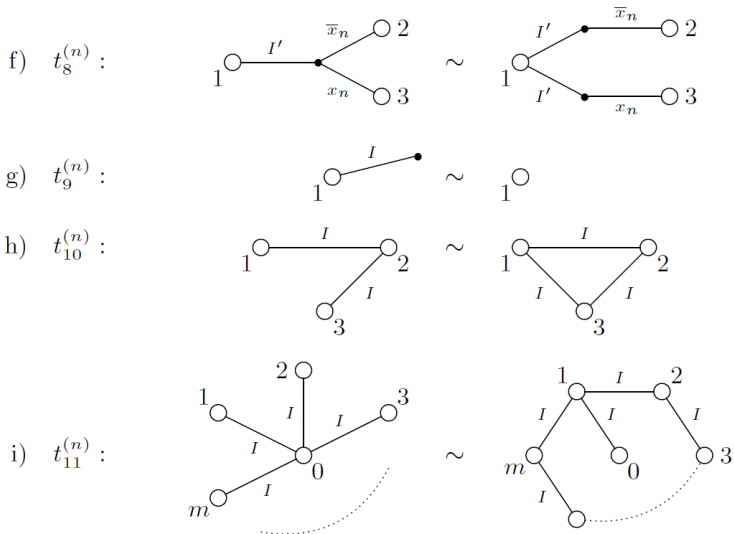


Рис. 7.8: обобщенные тождества порядка  $n$  для КС

Систему тождеств  $\tau^{(n)} = \{t_1^{(n)}, \dots, t_{11}^{(n)}\}$ , где  $t_1^{(n)} = t_1$ ,  $t_6^{(n)}$  — соответствующее основное тождество (см. рис. 7.1f),  $t_2^{(n)}$  — система, состоящая из тождеств, показанных на рис. 7.8a, где  $\tilde{I}$  — произвольная перестановка цепочки  $I$ , а остальные тождества приведены на рис. 7.8b–7.8i, будем называть системой *обобщенных тождеств порядка  $n$* . При этом система  $\tau_n = \{t_1, \dots, t_5, t_6^{(1)}, \dots, t_6^{(n)}\}$  считается системой основных тождеств порядка  $n$ , а система всех основных тождеств обозначается через  $\tau_\infty$ .

## Лемма 7.2

При  $n \geq 2$  имеет место выводимость  $\tau_n \Rightarrow \tau^{(n)}$ .





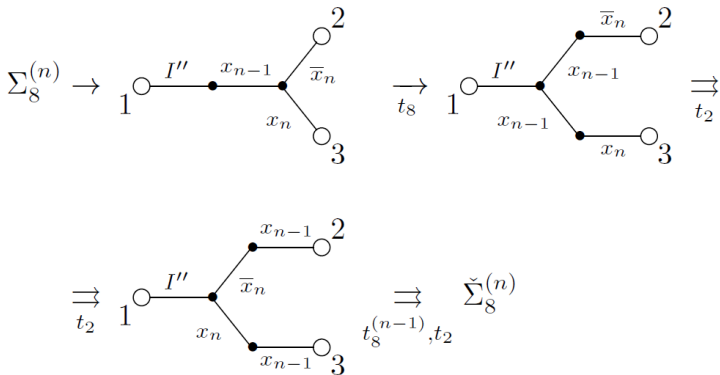


Рис. 7.9: вывод  $t_8^{(n)}$

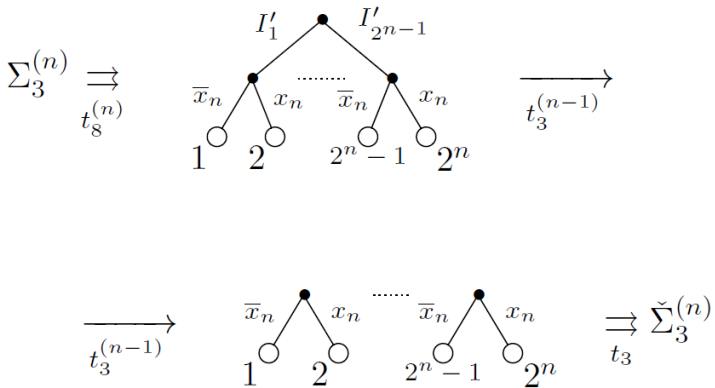


Рис. 7.10: ВЫВОД  $t_3^{(n)}$

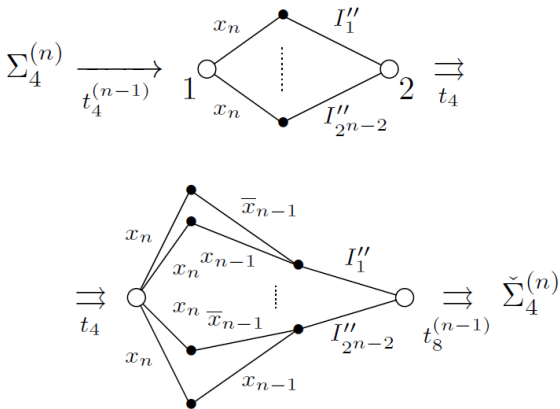


Рис. 7.11: вывод  $t_4^{(n)}$

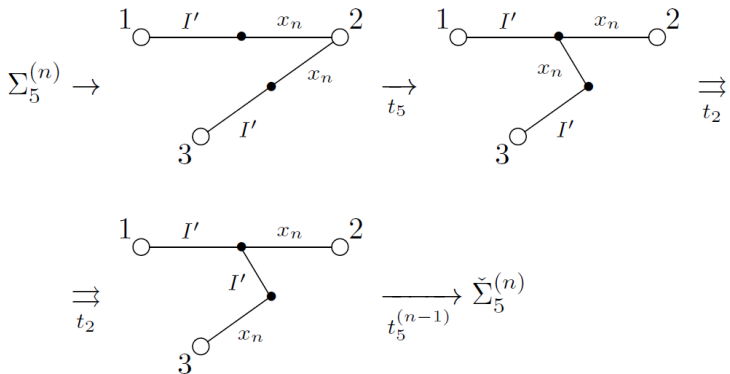


Рис. 7.12: ВЫВОД  $t_5^{(n)}$

**§8. Полнота системы основных тождеств и  
отсутствие конечной полной системы тождеств в  
классе контактных схем**

Докажем сначала полноту системы основных тождеств  $\tau_\infty$  для ЭП КС. Для этого, как обычно, достаточно доказать, что с помощью ЭП на основе системы  $\tau_\infty$  произвольную КС из  $\mathcal{U}^K$  можно привести к каноническому виду. Напомним, что каноническая КС  $\widehat{\Sigma}(x_1, \dots, x_n; a_1, \dots, a_m)$ , или, иначе, *каноническая КС порядка  $n$* , представляет собой объединение канонических  $(1, 1)$ -КС вида  $\widehat{\Sigma}_{ij}(x_1, \dots, x_n; a_i, a_j)$ , построенных на основе совершенных ДНФ ФАЛ проводимости от  $a_i$  к  $a_j$  для всех  $i$  и  $j$  таких, что  $1 \leq i < j \leq m$ .

Любую цепь  $I_i^{(n)}$ , где  $i \in [1, 2^n]$ , а также любую цепь, которая получается из  $I_i^{(n)}$  перестановкой контактов, будем называть *канонической цепью порядка  $n$* .



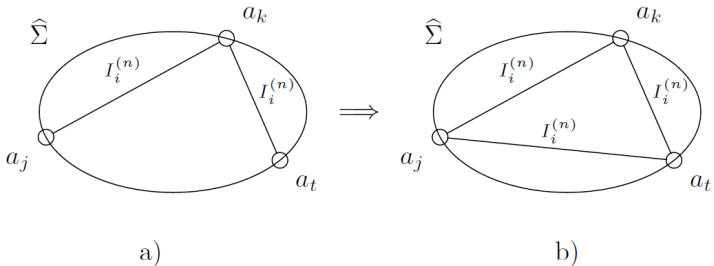


Рис. 8.1: к свойству (4) КС канонического вида



## Лемма 8.1

Для любой КС  $\Sigma$ , где  $\Sigma \in \mathcal{U}^K$  и  $\Sigma = \Sigma(x_1, \dots, x_n; a_1, \dots, a_m)$ , и любой эквивалентной  $\Sigma$  КС  $\widehat{\Sigma}(x_1, \dots, x_n; a_1, \dots, a_m)$  канонического вида существует ЭП  $\Sigma \xrightarrow{\tau_n} \widehat{\Sigma}$ .

## Доказательство

Построим ЭП вида

$$\Sigma \xrightarrow{\tau_n} \Sigma_1 \xrightarrow{\tau_n} \Sigma_2 \xrightarrow{\tau_n} \Sigma_3 \xrightarrow{\tau_n} \Sigma_4 = \widehat{\Sigma},$$

где КС  $\Sigma_i$ ,  $i = 1, 2, 3, 4$ , обладает отмеченными выше свойствами (1), ..., (i), отличающими канонические КС.

## Продолжение доказательства

Первое из этих ЭП имеет вид

$$\Sigma \xrightarrow{t_4^{(n)}} \Sigma_1$$

и связано с применением к каждому контакту тождества  $t_4^{(n)}$ .

Существование ЭП

$$\Sigma_1 \xrightarrow{\{t_6^{(n)}, t_{11}^{(n)}, t_9^{(n)}, t_3^{(n)}, t_1^{(n)}\}} \Sigma_2 \quad (8.1)$$

докажем индукцией по числу тех внутренних вершин КС  $\Sigma_1$ , которые не являются внутренними вершинами ее канонических цепей. Базис индукции составляют схемы  $\Sigma_1$ , которые не имеют указанных вершин и для которых, следовательно,  $\Sigma_2 = \Sigma_1$ .

## Продолжение доказательства

Пусть теперь КС  $\Sigma_1$  имеет хотя бы одну вершину указанного вида и пусть  $v$  — одна из таких вершин. Удалим с помощью тождества  $t_6^{(n)}$  все присоединенные к  $v$  «висячие» циклы и рассмотрим все остальные цепи  $C_1, \dots, C_q$ , концевой вершиной которых она является (см. рис. 8.2a). Не ограничивая общности рассуждений, будем считать, что для некоторых натуральных чисел

$$a_1 = 1 < a_2 < \dots < a_p < a_{p+1} = q + 1$$

и любого  $j$ ,  $j \in [1, p]$ , цепи  $C_{a_j}, \dots, C_{a_{j+1}-1}$  являются цепями типа  $I_{i_j}^{(n)} = I_{i_j}$ , где  $i_1, \dots, i_p$  — различные числа отрезка  $[1, 2^n]$ . Применяя к каждой из этих  $p$  групп цепей одного типа тождество  $t_{11}^{(n)}$ , получим КС  $\Sigma'_1$ , в которой из вершины  $v$  выходит по одной цепи каждого типа  $I_{i_j}$ ,  $j \in [1, p]$  (см. рис. 8.2b).

## Продолжение доказательства

Пусть, далее, КС  $\Sigma_1''$  получается из КС  $\Sigma_1'$  присоединением к вершине  $v$  с помощью тождества  $t_9^{(n)}$  «висячих» цепей  $C_{p+1}, \dots, C_{2^n}$  всех отсутствующих среди  $I_{i_1}, \dots, I_{i_p}$  типов (см. рис. 8.2с), а КС  $\Sigma_1'''$  получается из КС  $\Sigma_1''$  в результате удаления с помощью тождества  $t_3^{(n)}$  вершины  $v$  вместе со всеми «инцидентными» ей цепями и устранения с помощью тождества  $t_1$  образовавшихся при этом изолированных вершин — концевых вершин цепей  $C_{p+1}, \dots, C_{2^n}$  (см. рис. 8.2d). По индуктивному предположению для КС  $\Sigma_1'''$  существует ЭП вида

$$\Sigma_1''' \quad \Rightarrow \quad \Sigma_2$$

$$\{t_6^{(n)}, t_{11}^{(n)}, t_9^{(n)}, t_3^{(n)}, t_1^{(n)}\}$$

и, следовательно, для КС  $\Sigma_1$  существует ЭП (8.1).



## Продолжение доказательства

Переход от КС  $\Sigma_2$  к КС  $\Sigma_3$  осуществляется с помощью тождеств  $t_6^{(n)}$  и  $t_7^{(n)}$ , а от КС  $\Sigma_2$  к КС  $\Sigma_3$  — с помощью тождеств  $t_{10}^{(n)}$ .

Лемма доказана. □

## Теорема 8.1

Для любых двух эквивалентных КС  $\Sigma'$  и  $\Sigma''$  от БП  $x_1, \dots, x_n$  существует ЭП вида  $\Sigma' \xRightarrow{\tau_n} \Sigma''$ .

## Доказательство.

Пусть  $\widehat{\Sigma}'$  и  $\widehat{\Sigma}''$  — канонические КС от БП  $x_1, \dots, x_n$ , эквивалентные КС  $\Sigma'$  и  $\Sigma''$  соответственно. Из определений следует, что  $\widehat{\Sigma}' \xRightarrow{t_2^{(n)}} \widehat{\Sigma}''$ , и поэтому, в силу леммы 8.1,

существует ЭП вида

$$\Sigma' \xRightarrow{\tau_n} \widehat{\Sigma}' \xRightarrow{t_2^{(n)}} \widehat{\Sigma}'' \xRightarrow{\tau_n} \Sigma''.$$

Теорема доказана. □





Докажем теперь отсутствие КПСТ в классе  $\mathcal{U}^K$ . Для КС  $\Sigma$  от БП  $x_1, \dots, x_n$  и набора  $\alpha, \alpha \in B^n$ , определим величину

$$\Theta(\Sigma, \alpha) = |E(\Sigma|\alpha)| - |V(\Sigma|\alpha)| + |c(\Sigma|\alpha)|,$$

которая задает цикломатическое число графа  $\Sigma|\alpha$ . Положим, далее,

$$\Theta(\Sigma) = \sum_{\alpha \in B^n} \Theta(\Sigma, \alpha).$$

### Лемма 8.2

Если  $\Sigma'(x_1, \dots, x_n) \xrightarrow{\{t_1-t_5\}} \Sigma''(x_1, \dots, x_n)$ , то

$\Theta(\Sigma') = \Theta(\Sigma'')$ , а если  $\Sigma' \xrightarrow{\tau_k} \Sigma''$ , где  $k < n$ , то

$\Theta(\Sigma') - \Theta(\Sigma'')$  делится на  $2^{n-k}$ .

## Доказательство

Докажем, что  $\Theta(\Sigma') = \Theta(\Sigma'')$ , если  $\Sigma' \xrightarrow{t_i} \Sigma''$  для любого  $i$  из отрезка  $[1, 5]$ . Действительно, пусть КС  $\Sigma''$  получается из КС  $\Sigma'$  заменой ее подсхемы  $\widehat{\Sigma}'_i$ , которая имеет вид левой части тождества  $t_i$ , на соответствующую ей правую часть  $\widehat{\Sigma}''_i$  этого тождества. Нетрудно проверить, что для любого  $i$ ,  $i \in [1, 5]$ , число линейно независимых циклов графов  $\Sigma|_{\alpha'}$  и  $\Sigma|_{\alpha''}$  одинаково при всех  $\alpha$ ,  $\alpha \in B^n$ , и, следовательно,  $\Theta(\Sigma') = \Theta(\Sigma'')$ .

Пусть теперь  $\Sigma' \xrightarrow{\tau_k} \Sigma''$ , причем  $k < n$ . Если КС  $\Sigma'$  содержит в качестве подсхемы цикл из  $k$  контактов с одним полюсом, то КС  $\Sigma''$  содержит вместо него один лишь полюс. Рассмотрим цикломатическое число сети  $\Sigma'|_{\alpha}$  для различных  $\alpha$ ,  $\alpha \in B^n$ .



## Теорема 8.2

*В классе  $\mathcal{U}^K$  не существует конечной полной системы тождеств.*

### Доказательство

Проведем доказательство от противного: пусть  $\tau$  — КПСТ для ЭП КС  $\mathcal{U}^K$ , и пусть  $n$  — максимальное число БП, встречающихся в тождествах системы  $\tau$ . Тогда  $\tau_n \Rightarrow \tau$  и  $\tau_n$  — КПСТ для  $\mathcal{U}^K$ . Докажем, что  $\tau_n \not\Rightarrow t_6^{(n+1)}$ . Для этого рассмотрим КС  $\Sigma'$ , состоящую из простого цикла длины  $(n+1)$ , содержащего контакты с пометками  $x_i$ ,  $i \in [1, n+1]$ , и имеющую единственный полюс с пометкой 1, которая является левой частью тождества  $t_6^{(n+1)}$ .





В основе большинства структурных преобразований схем лежит ряд операций, которые обобщают операцию суперпозиции функций и используются для построения сложных схем из более простых. Базисом таких построений является обычно схема из одной изолированной вершины, являющейся ее входом. Указанная вершина называется *тождественной вершиной кратности  $k$* ,  $k \geq 0$ , если она одновременно является  $k$ -кратным выходом данной схемы. При этом кратность один, как правило, не указывается, а тождественная вершины кратности 0 считается *фиктивной*. Простейшими видами суперпозиции схем являются: 1) операция *переименования входов схемы* с возможным их отождествлением; 2) операция *переименования выходов схемы* с возможным их дублированием или снятием; 3) операция *объединения схем*, не имеющих общих вершин и общих вход-выходных пометок, понимаемая, как обычное объединение соответствующих графов.

Будем говорить, что схема  $\Sigma$  имеет вид  $\Sigma = \Sigma''(\Sigma')$ , то есть является *суперпозицией схем*  $\Sigma''$  и  $\Sigma'$  без общих вершин и вход-выходных пометок, если она получается в результате объединения этих схем и присоединения (части) входов схемы  $\Sigma''$  к (некоторым) выходам схемы  $\Sigma'$ . Указанная суперпозиция считается *бесповторной*, если различные входы  $\Sigma''$  присоединяются к различным выходным вершинам  $\Sigma'$ . Суперпозиция вида  $\Sigma = \Sigma''(\Sigma')$  называется *стыковкой*, если число входов схемы  $\Sigma''$  равно числу выходов схемы  $\Sigma'$  и каждый вход  $\Sigma''$  присоединяется к выходу  $\Sigma'$  с тем же номером.





Заметим также, что суперпозиция общего вида  $\Sigma = \Sigma''(\Sigma')$  всегда может быть сведена к стыковке вида  $\Sigma = \widehat{\Sigma}''(\widehat{\Sigma}')$ , где схемы  $\widehat{\Sigma}'$  и  $\widehat{\Sigma}''$  получаются из схем  $\Sigma'$  и  $\Sigma''$  соответственно добавлением тождественных вершин и переименованием выходов. Стыковка вида  $\Sigma = \Sigma''(\Sigma')$ , в свою очередь, может быть сведена к бесповторной стыковке вида  $\Sigma = \widehat{\Sigma}''(\widehat{\Sigma}')$ , где схемы  $\widehat{\Sigma}'$  и  $\widehat{\Sigma}''$  получаются из схем  $\Sigma'$  и  $\Sigma''$  снятием выходов и отождествлением входов соответственно.

Для суперпозиции схем вида  $\Sigma = \Sigma''(\Sigma')$  характерно, как правило, то, что схема  $\Sigma$  реализует функции, получающиеся в результате соответствующей подстановки (всех или части) функций, реализованных схемой  $\Sigma'$  вместо (всех или части) входных переменных схемы  $\Sigma''$ . В случае стыковки, например, это означает, что схема  $\Sigma$  реализует набор функций вида  $\mathcal{F}''(\mathcal{F}')$ , где  $\mathcal{F}''$  и  $\mathcal{F}'$  — наборы функций, реализованные схемами  $\Sigma''$  и  $\Sigma'$  соответственно.

Суперпозиция  $\Sigma = \Sigma''(\Sigma')$  считается *правильной*, если схема  $\Sigma$  обладает указанным свойством, и *корректной*, если, кроме того, в любой вершине  $\Sigma$ , которая соответствует выходной вершине  $\Sigma'$ , реализуется та же самая функция, что и в  $\Sigma'$ .

Заметим, что правильная суперпозиция вида  $\Sigma''(\Sigma')$  автоматически является корректной, если кратность любой выходной вершины  $\Sigma'$  больше числа присоединяемых к ней входов  $\Sigma''$ . Заметим также, что с содержательной точки зрения корректность суперпозиции вида  $\Sigma''(\Sigma')$  позволяет одновременно использовать выходы  $\Sigma'$  в других суперпозициях.



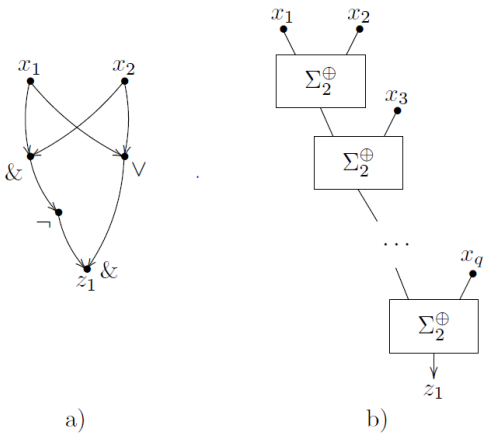


Рис. 9.1: пример суперпозиции СФЭ

На рис. 9.1a показана СФЭ  $\Sigma_2^\oplus$ , имеющая сложность 4 и реализующая ФАЛ  $x_1 \oplus x_2$ , а на рис. 9.1b — СФЭ  $\Sigma_q^\oplus$ ,  $q \geq 3$ , которая является результатом «последовательной» суперпозиции  $(q - 1)$  схем  $\Sigma_2^\oplus$  и реализует ФАЛ  $\ell_q(x_1, \dots, x_q)$  со сложностью  $4q - 4$ .

Рассмотрим теперь вопросы, связанные с нахождением функционирования для суперпозиций сетей или КС. Из соображений удобства будем допускать наличие в КС ориентированных (неориентированных) ребер без пометок, которые проводят при любых значениях управляющих входных БП в указанном (соответственно в любом) направлении и называются вентилями (соответственно *проводниками*). Это позволяет считать, что сети являются частным случаем КС и реализуют свои матрицы достижимости, состоящие из константных ФАЛ.





Легко видеть, что перестановка входов (выходов) КС порождает в реализуемой ею матрице такую же перестановку связанных с ними строк (соответственно столбцов), а снятие (дублирование) выходов этой КС — удаление (соответственно добавление) связанных с ними столбцов. Заметим также, что КС  $\Sigma$ , которая является объединением КС  $\Sigma'$  и  $\Sigma''$ , реализующих матрицы  $F'$  и  $F''$  соответственно, реализует матрицу  $F$  вида<sup>1</sup>:

$$F = \begin{array}{|c|c|} \hline F' & 0 \\ \hline 0 & F'' \\ \hline \end{array}$$

---

<sup>1</sup>Предполагается, что номер любого входа (выхода) КС  $\Sigma'$  меньше номера любого входа (соответственно выхода) КС  $\Sigma''$  в КС  $\Sigma$ , а внутренняя упорядоченность полюсов КС  $\Sigma'$  и  $\Sigma''$  в КС  $\Sigma$  сохраняется. В остальных случаях происходит необходимая перестановка входов и выходов КС  $\Sigma$ .



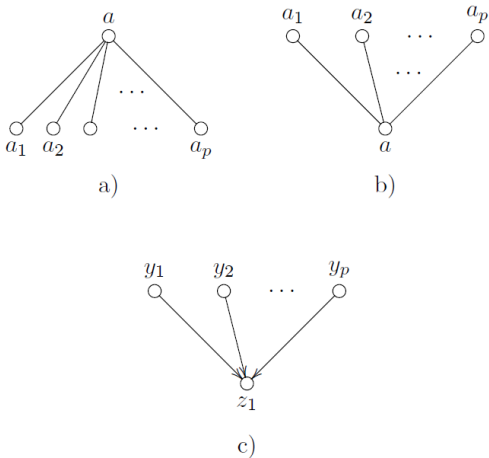


Рис. 9.2: проводящие и вентильная звезды порядка  $p$

Заметим, что результат отождествления первых  $p$  входов КС  $\Sigma$  эквивалентен результату стыковки вида  $\Sigma(\Sigma')$ , а результат  $p$ -кратного дублирования первого выхода КС  $\Sigma$  — результату стыковки  $\Sigma''(\Sigma)$ , где КС  $\Sigma'$ ,  $\Sigma''$  состоят из  $(1, p)$ -проводящей звезды (см. рис. 9.2а,  $a$  — вход) и тождественных вершин. Заметим также, что стыковка вида  $\Sigma(\widehat{\Sigma})$ , где КС  $\widehat{\Sigma}$  состоит из  $(p, 1)$ -проводящей звезды (см. рис. 9.2б,  $a$  — выход) и тождественных вершин, соответствует отождествлению первых  $p$  выходов КС  $\Sigma$ .

В соответствии с общими правилами стыковка (суперпозиция) КС вида  $\Sigma = \Sigma'' (\Sigma')$  называется<sup>2</sup> *правильной*, если для матриц  $F$ ,  $F'$  и  $F''$ , реализуемых КС  $\Sigma$ ,  $\Sigma'$  и  $\Sigma''$  соответственно, выполняется равенство

$$F = F' \cdot F''. \quad (9.1)$$

Указанная суперпозиция считается *корректной*, если, кроме того, в выходных вершинах подсхемы  $\Sigma'$  схемы  $\Sigma$  реализуются те же самые столбцы ФАЛ, что и в самой схеме  $\Sigma$ . Аналогичным образом определяется правильность и корректность суперпозиции КС на заданном наборе значений управляющих БП.

---

<sup>2</sup>Это определение соответствует «обычному» определению корректной суперпозиции в рамках модели так называемых преобразующих КС.



Легко видеть, что операция переименования входов (выходов) КС без отождествления, операция объединения КС, а также операция последовательного соединения  $(1, 1)$ -КС корректны в любом случае. В то же время параллельное соединение  $(1, 1)$ -КС, при котором сначала отождествляются входы, а затем выходы соединяемых КС, не является, в общем случае, корректной операцией суперпозиции, хотя является при этом правильной суперпозицией, так как полученная КС реализует дизъюнкцию ФАЛ, реализуемых исходными КС. Заметим, что корректное дизъюнктивное соединение выходных ФАЛ можно осуществить с помощью стыковки исходной КС с вентиляющей звездой (см. рис. 9.2с).

Схема называется *разделительной по входам (выходам)*, если ФАЛ проводимости между любыми ее различными входами (соответственно выходами) равна 0. Так  $(p, 1)$ -схема  $\Sigma'' = \Sigma''(y_1, \dots, y_p; z_1)$ , показанная на рисунке 9.2с, является разделительной по входам схемой, которая называется *вентильной звездой порядка  $p$* . Примером разделительной по выходам (входам) КС может служить  $(1, 2^n)$  (соответственно  $(2^n, 1)$ ) контактное дерево порядка  $n$  (см. рис. 6.4). Будем говорить, что КС  $\Sigma$  от БП  $x_1, \dots, x_n$  *разделительна на наборе  $\alpha = (\alpha_1, \dots, \alpha_n)$*  значений этих БП, если соответствующей разделительностью обладает сеть  $\Sigma|_\alpha$ .



Следующее утверждение является обобщением известной леммы Шеннона.

### Лемма 9.1

*Пусть КС  $\Sigma$  является результатом стыковки вида  $\Sigma = \Sigma''(\Sigma')$ , а  $F$ ,  $F'$  и  $F''$  — матрицы, реализуемые КС  $\Sigma$ ,  $\Sigma'$  и  $\Sigma''$  соответственно. Тогда*

$$F \geq F' \cdot F'', \quad (9.2)$$

*а если КС  $\Sigma''$  разделительна по входам или КС  $\Sigma'$  разделительна по выходам, то*

$$F = F' \cdot F''. \quad (9.3)$$

## Доказательство

Пусть КС  $\Sigma$  является сначала результатом бесповторной стыковки  $(p, q)$ -КС  $\Sigma'$  и  $(q, s)$ -КС  $\Sigma''$  от БП  $x_1, \dots, x_n$ .

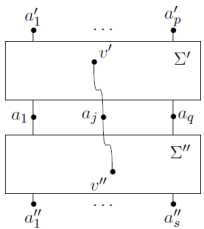
Пусть, кроме того,  $v'$  ( $v''$ ) — произвольная вершина КС  $\Sigma'$  (соответственно  $\Sigma''$ ), а ФАЛ  $f'_j$  (соответственно  $f''_j$ ),  $j \in [1, q]$ , — ФАЛ проводимости от вершины  $v'$  к  $j$ -му выходу в КС  $\Sigma'$  (соответственно от  $j$ -го входа к вершине  $v''$  в КС  $\Sigma''$ ). Докажем, что для ФАЛ  $f$  — ФАЛ проводимости от вершины  $v'$  к вершине  $v''$  в КС  $\Sigma$ , — справедливо неравенство

$$f(x_1, \dots, x_n) \geq f'_1 \cdot f''_1 \vee \dots \vee f'_q \cdot f''_q, \quad (9.4)$$

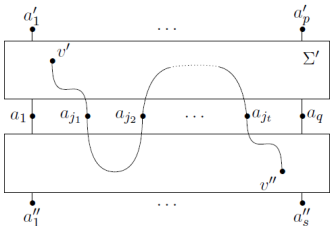
которое переходит в равенство

$$f(x_1, \dots, x_n) = f'_1 \cdot f''_1 \vee \dots \vee f'_q \cdot f''_q, \quad (9.5)$$

если КС  $\Sigma'$  разделительна по выходам или КС  $\Sigma''$  разделительна по входам.



a)



b)

Рис. 9.3: к доказательству леммы 9.1

## Продолжение доказательства

Действительно, пусть  $a_j$ ,  $j \in [1, q]$ , — вершина КС  $\Sigma$ , которая получается в результате присоединения  $j$ -го входа КС  $\Sigma''$  к  $j$ -му выходу КС  $\Sigma'$  (см. рис. 9.3а). Справедливость неравенства (9.4) следует из того, что его правая часть описывает «суммарную» проводимость тех  $(v' - v'')$ -цепей КС  $\Sigma$ , которые проходят через вершины  $a_1, \dots, a_q$  ровно один раз (см. рис. 9.3а). Любая другая  $(v' - v'')$ -цепь КС  $\Sigma$  проходит через указанные вершины не меньше трех раз (см. рис. 9.3б) и в случае разделительности КС  $\Sigma'$  по выходам или разделительности КС  $\Sigma''$  по входам имеет нулевую проводимость.

## Продолжение доказательства

Из (9.4) и (9.5) непосредственно вытекают (9.2) и (9.3) с учетом того, что при  $v' = a'_i$  и  $v'' = a''_j$ , где  $i \in [1, p]$  и  $j \in [1, s]$ , левая (правая) часть этих соотношений равна элементу матрицы  $F$  (соответственно  $F' \cdot F''$ ), расположенному в  $i$ -й строке и  $j$ -м столбце.

## Продолжение доказательства

Пусть теперь КС  $\Sigma$  получается из КС  $\Sigma''$  в результате применения операции отождествления входов, то есть  $\Sigma$  эквивалентна неповторной стыковке вида  $\Sigma''(\Sigma')$ , где КС  $\Sigma'$  состоит из проводящей звезды и тождественных вершин. В этом случае неравенство (9.2) имеет вид  $F \geq \hat{F}''$ , где матрица  $\hat{F}''$  получается из матрицы  $F''$  в результате поразрядной дизъюнкции строк, соответствующих отождествляемым входам КС  $\Sigma''$ , и по-прежнему переходит в равенство, если КС  $\Sigma''$  разделительна по входам. В последнем случае, кроме того, из аналогичного равенства, связанного с КС  $\tilde{\Sigma}''$ , которая получается из КС  $\Sigma''$  в результате объявления ее входов входами и, одновременно, выходами  $\tilde{\Sigma}''$ , следует разделительность КС  $\Sigma$  по входам.



## Следствие 1

*В случае разделительности КС  $\Sigma''$  по входам в каждой вершине КС  $\Sigma$ ,  $\Sigma = \Sigma'' (\Sigma')$ , которая соответствует выходу КС  $\Sigma'$ , реализуется тот же самый столбец ФАЛ, что и в КС  $\Sigma'$ , то есть рассматриваемая суперпозиция является корректной.*

Действительно, полагая  $v' = a'_i$  и  $v'' = a_j$ , где  $i \in [1, p]$ , а  $j \in [1, q]$ , из (9.5) получим требуемое равенство  $f = f'_j$ .

Случай стыковки общего вида рассматривается аналогично.

## Следствие 2

*Равенство (9.3) выполняется на любом наборе значений БП, на котором КС  $\Sigma''$  разделительна по входам или КС  $\Sigma'$  разделительна по выходам.*